

Vadique Myself

PHYSICS *of* ELASTIC CONTINUA



CONTENTS

| | | |
|------------------|---|-----------|
| <i>Chapter 3</i> | Nonlinear elastic momentless continuum | 1 |
| § 1. | Continuum and the two approaches to describe it | 1 |
| § 2. | Motion gradient | 5 |
| § 3. | Measures (tensors) of deformation | 6 |
| § 4. | Velocity field | 12 |
| § 5. | Area vector. Surface change | 13 |
| § 6. | Forces in continuum. Existence of the Cauchy stress tensor | 14 |
| § 7. | Balance of momentum and angular momentum | 16 |
| § 8. | Eigenvalues of the Cauchy stress tensor. Mohr's circles | 18 |
| § 9. | Principle of virtual work (without Lagrange multipliers) | 18 |
| § 10. | Constitutive relations of elasticity | 20 |
| § 11. | Piola–Kirchhoff stress tensors and other measures of stress | 22 |
| § 12. | Variation of present configuration | 27 |
| § 13. | Internal constraints | 27 |
| § 14. | Hollow sphere under pressure | 28 |
| § 15. | Stresses as Lagrange multipliers | 29 |
| | List of publications | 31 |

chapter 3

NONLINEAR ELASTIC MOMENTLESS CONTINUUM

§1. Continuum and the two approaches to describe it

According to the atomic theory, a substance is composed of discrete particles — atoms. Therefore a model of a system of particles with masses m_k and location vectors $\mathbf{r}_k(t)$ may seem suitable yet despite an unimaginable number of degrees of freedom, because amounts of memory and a speed of modern computers are characterized also by astronomical numbers.

But anyway, it's worth choosing a fundamentally and qualitatively different model — a model of the material continuum, or the continuous medium, where the mass is distributed continuously within a volume, and the finite volume \mathcal{V} contains the mass

$$m = \int_{\mathcal{V}} \rho d\mathcal{V}, \quad dm = \rho d\mathcal{V}, \quad (1.1)$$

here ρ is the volume(tric) mass density and $d\mathcal{V}$ is the infinitesimal volume element.

A real matter is modeled as a continuum, which can be thought of as an infinite set of vanishingly small particles, joined together.

A space of material points is only the first and simple idea of a continuous distribution of mass. More complex models are possible too, where particles have more degrees of freedom: not only of translation, but also of rotation, of internal deformation, and others. Knowing that such models are attracting more and more interest, in this chapter we will consider the classical concept of a continuous medium as “made of simple points”.

At every moment of time t , a deformable continuum occupies a certain volume \mathcal{V} of the space. This volume moves and deforms, but the set of particles inside this volume is constant. It is the balance of mass (“matter is neither created nor annihilated”)

$$dm = \rho d\mathcal{V} = \rho' d\mathcal{V}' = \overset{\circ}{\rho} d\overset{\circ}{\mathcal{V}}, \quad m = \int_{\mathcal{V}} \rho d\mathcal{V} = \int_{\mathcal{V}'} \rho' d\mathcal{V}' = \int_{\overset{\circ}{\mathcal{V}}} \overset{\circ}{\rho} d\overset{\circ}{\mathcal{V}}. \quad (1.2)$$

Introducing some variable parameters q^i — the curvilinear coordinates, we have a relation for locations of particles

$$\mathbf{r} = \mathbf{r}(q^i, t). \quad (1.3)$$

...

Material description

at the initial moment, in the so-called initial (original, reference, “material”) configuration

at some initial moment $t=0$

“запоминается” начальная (“материальная”) конфигурация — locations in space of particles at some arbitrarily chosen “initial” moment $t=0$

$$\overset{\circ}{\mathbf{r}}(q^i) \equiv \mathbf{r}(q^i, 0)$$

Morphism (function) $\overset{\circ}{\mathbf{r}} = \overset{\circ}{\mathbf{r}}(q^i)$

isomorphism (bijective mapping) (invertible one-to-one relation) (взаимно однозначное)

Subsequent locations in space of particles are then dependent variables — functions of time and of the initial (material, “Lagrangian”) coordinates/location $\overset{\circ}{\mathbf{r}}$

$$\mathbf{r} = \mathbf{r}(\overset{\circ}{\mathbf{r}}, t).$$

Для пространственного дифференцирования (постоянных во времени) отношений like $\varphi = \varphi(\overset{\circ}{\mathbf{r}})$

вводится локальный касательный базис $\overset{\circ}{\mathbf{r}}_{\partial i}$ и взаимный базис $\overset{\circ}{\mathbf{r}}^i$

$$\overset{\circ}{\mathbf{r}}_{\partial i} \equiv \partial_i \overset{\circ}{\mathbf{r}} \left(\partial_i \equiv \frac{\partial}{\partial q^i} \right), \quad \overset{\circ}{\mathbf{r}}^i \cdot \overset{\circ}{\mathbf{r}}_{\partial j} = \delta_j^i$$

“материальный” оператор Hamilton’a $\overset{\circ}{\nabla}$

$$\mathbf{E} = \overset{\circ}{\mathbf{r}}^i \overset{\circ}{\mathbf{r}}_{\partial i} = \overset{\circ}{\mathbf{r}}^i \partial_i \overset{\circ}{\mathbf{r}} = \overset{\circ}{\nabla} \overset{\circ}{\mathbf{r}}, \quad \overset{\circ}{\nabla} \equiv \overset{\circ}{\mathbf{r}}^i \partial_i, \quad (1.4)$$

тогда $d\varphi = d\overset{\circ}{\mathbf{r}} \cdot \overset{\circ}{\nabla} \varphi$.

...

But yet another approach may be effective — *the spatial (or “Eulerian”) description*, when instead of focusing on how particles of a continuum move from the initial configuration through space and time, processes are considered at fixed points in space as time progresses. With relations like $\rho = \rho(\mathbf{r}, t)$, we track what’s happening exactly in this place. Various particles, continuously leaving and coming here, do not confuse us.

...

the balance of mass in spatial description (the continuity equation for mass)

...

Jaumann derivative (“**corotational** time derivative”) was first introduced by Gustav Jaumann*

Es sei $\frac{\partial}{\partial t}$ der Operator der lokalen Fluxion, d. i. der partiellen Fluxion in einem gegen das Koordinatensystem ruhenden Punkte des Raumes. Ferner sei $\frac{d}{dt}$ der Operator der totalen Fluxion, welcher definiert wird durch

$$\begin{aligned} \frac{da}{dt} &= \frac{\partial a}{\partial t} + \mathbf{v} \cdot \nabla a, \\ \frac{d\mathbf{a}}{dt} &\stackrel{3}{=} \frac{\partial \mathbf{a}}{\partial t} + \mathbf{v} \cdot \nabla; \mathbf{a} - \frac{1}{2} (\text{rot } \mathbf{v}) \times \mathbf{a}, \\ \frac{d\boldsymbol{\alpha}}{dt} &\stackrel{9}{=} \frac{\partial \boldsymbol{\alpha}}{\partial t} + \mathbf{v} \cdot \nabla; \boldsymbol{\alpha} - \frac{1}{2} (\text{rot } \mathbf{v} \times \boldsymbol{\alpha} - \boldsymbol{\alpha} \times \text{rot } \mathbf{v}). \end{aligned}$$

* **Gustav Jaumann.** Geschlossenes System physikalischer und chemischer Differentialgesetze (I. Mitteilung) // Sitzungsberichte der Kaiserlichen Akademie der Wissenschaften in Wien, Mathematisch-naturwissenschaftliche Klasse, Abteilung IIa, Band CXX, 1911. Seiten 385–530.

Endlich verwenden wir die körperliche Fluxion eines Skalars:

$$\frac{\delta}{\delta t} a = \frac{\partial}{\partial t} a + \operatorname{div} a \mathbf{v} = \frac{d}{dt} a + a \operatorname{div} \mathbf{v}.$$

körperliche — bodily/телесная, material/вещественная(материальная),
physical/физическая

$$\nabla \cdot (a \mathbf{v}) = a \nabla \cdot \mathbf{v} + \mathbf{v} \cdot \nabla a$$

...

Пусть $\mathbf{v}(\overset{\circ}{\mathbf{r}}, t)$ — какое-либо поле (?? только в материальном описании от $\overset{\circ}{\mathbf{r}}$??). Найдём скорость изменения интеграла по объёму

$$\Upsilon \equiv \int_{\mathcal{V}} \rho \mathbf{v} d\mathcal{V}$$

(“ \mathbf{v} is Υ per mass unit”). Seemingly difficult calculation of $\dot{\Upsilon}$ (since \mathcal{V} is deforming) is actually quite simple together with (1.2):

$$\Upsilon = \int_{\overset{\circ}{\mathcal{V}}} \overset{\circ}{\rho} \mathbf{v} d\overset{\circ}{\mathcal{V}} \Rightarrow \dot{\Upsilon} = \int_{\overset{\circ}{\mathcal{V}}} \overset{\circ}{\rho} \dot{\mathbf{v}} d\overset{\circ}{\mathcal{V}} = \int_{\mathcal{V}} \rho \dot{\mathbf{v}} d\mathcal{V}. \quad (1.5)$$

$$\Psi = \int_{\mathcal{V}} \rho \psi d\mathcal{V} = \int_{\mathcal{V}'} \rho' \psi d\mathcal{V}' \Rightarrow \dot{\Psi} = \int_{\mathcal{V}} \rho \dot{\psi} d\mathcal{V} = \int_{\mathcal{V}'} \rho' \dot{\psi} d\mathcal{V}'$$

...

It is not worth it to contrapose the material and the spatial descriptions. In this book both are used, depending on the situation.

§ 2. Motion gradient

Having motion function $\mathbf{r} = \mathbf{r}(q^i, t)$, $\overset{\circ}{\mathbf{r}}(q^i) \equiv \mathbf{r}(q^i, 0)$, “nabla” operators $\nabla \equiv \mathbf{r}^i \partial_i$, $\overset{\circ}{\nabla} \equiv \overset{\circ}{\mathbf{r}}^i \partial_i$ and looking at differential relations for a certain infinitesimal vector in two configurations, current with $d\mathbf{r}$ and initial with $d\overset{\circ}{\mathbf{r}}$

$$\begin{aligned} d\mathbf{r} &= d\overset{\circ}{\mathbf{r}} \cdot \overset{\circ}{\nabla} \mathbf{r} = \overset{\circ}{\nabla} \mathbf{r}^\top \cdot d\overset{\circ}{\mathbf{r}} \\ d\overset{\circ}{\mathbf{r}} &= d\mathbf{r} \cdot \nabla \overset{\circ}{\mathbf{r}} = \nabla \overset{\circ}{\mathbf{r}}^\top \cdot d\mathbf{r} \end{aligned} \quad (2.1)$$

$\begin{matrix} \mathbf{F}^\top & \mathbf{F} \\ \overset{\circ}{\mathbf{r}}^i \mathbf{r}_{\partial_i} & \mathbf{r}_{\partial_i} \overset{\circ}{\mathbf{r}}^i \\ \hline \mathbf{r}^i \overset{\circ}{\mathbf{r}}_{\partial_i} & \overset{\circ}{\mathbf{r}}_{\partial_i} \mathbf{r}^i \\ \mathbf{F}^{-\top} & \mathbf{F}^{-1} \end{matrix}$

here comes to mind to introduce the “motion gradient”^{*}, picking one of these tensor multipliers for it: $\mathbf{F} \equiv \overset{\circ}{\nabla} \mathbf{r}^\top = \mathbf{r}_{\partial i} \overset{\circ}{\mathbf{r}}^i$.

Why this one? The reason to choose $\overset{\circ}{\nabla} \mathbf{r}^\top$ is another expression for the differential

$$d\mathbf{r} = \frac{\partial \mathbf{r}}{\partial \overset{\circ}{\mathbf{r}}} \cdot d\overset{\circ}{\mathbf{r}}$$

$$\mathbf{F} = \frac{\partial \mathbf{r}}{\partial \overset{\circ}{\mathbf{r}}}$$

$$d\overset{\circ}{\mathbf{r}} = \frac{\partial \overset{\circ}{\mathbf{r}}}{\partial \mathbf{r}} \cdot d\mathbf{r}$$

$$\mathbf{F}^{-1} = \frac{\partial \overset{\circ}{\mathbf{r}}}{\partial \mathbf{r}}$$

$$\frac{\partial \zeta}{\partial \overset{\circ}{\mathbf{r}}} = \partial_i \zeta \overset{\circ}{\mathbf{r}}^i \quad \frac{\partial \zeta}{\partial \mathbf{r}} = \partial_i \zeta \mathbf{r}^i$$

...

$$\mathbf{E} = \overset{\circ}{\nabla} \overset{\circ}{\mathbf{r}} = \nabla \mathbf{r}$$

^{*} Tensor \mathbf{F} doesn't well suit its more popular name “deformation gradient”, because this tensor describes not only the deformation itself, but also the rotation of a body as a whole without deformation.

...

For cartesian coordinates with orthonormal basis $\mathbf{e}_i = \text{constant}$

$$\mathbf{r} = x_i(t) \mathbf{e}_i, \quad \overset{\circ}{\mathbf{r}} = x_i(0) \mathbf{e}_i = \overset{\circ}{x}_i \mathbf{e}_i, \quad \overset{\circ}{x}_i \equiv x_i(0),$$

$$\overset{\circ}{\nabla} = \mathbf{e}_i \frac{\partial}{\partial \overset{\circ}{x}_i} = \mathbf{e}_i \partial_i, \quad \nabla = \mathbf{e}_i \frac{\partial}{\partial x_i} = \mathbf{e}_i \partial_i,$$

$$\overset{\circ}{\nabla} \mathbf{r} = \mathbf{e}_i \frac{\partial \mathbf{r}}{\partial \overset{\circ}{x}_i} = \mathbf{e}_i \frac{\partial (x_j \mathbf{e}_j)}{\partial \overset{\circ}{x}_i} = \frac{\partial x_j}{\partial \overset{\circ}{x}_i} \mathbf{e}_i \mathbf{e}_j = \partial_i \overset{\circ}{x}_j \mathbf{e}_i \mathbf{e}_j,$$

$$\nabla \overset{\circ}{\mathbf{r}} = \mathbf{e}_i \frac{\partial \overset{\circ}{\mathbf{r}}}{\partial x_i} = \frac{\partial \overset{\circ}{x}_j}{\partial x_i} \mathbf{e}_i \mathbf{e}_j = \partial_i \overset{\circ}{x}_j \mathbf{e}_i \mathbf{e}_j$$

...

By the polar decomposition theorem (§ ??), the motion gradient decomposes into the rotation tensor \mathbf{O} and the symmetric positive stretch tensors \mathbf{U} and \mathbf{V} :

$$\mathbf{F} = \mathbf{O} \cdot \mathbf{U} = \mathbf{V} \cdot \mathbf{O}$$

...

When there's no rotation ($\mathbf{O} = \mathbf{E}$), then $\mathbf{F} = \mathbf{U} = \mathbf{V}$.

...

§ 3. Measures (tensors) of deformation

And this is where the extra complexity arose. Although, the multivariance is often seen as a big gift.

Motion gradient \mathbf{F} characterizes both the deformation of a body and the rotation of a body as a whole. The deformation-only tensors are the stretch tensors \mathbf{U} and \mathbf{V} from the polar decomposition $\mathbf{F} = \mathbf{O} \cdot \mathbf{U} = \mathbf{V} \cdot \mathbf{O}$, as well as another tensors, originating from \mathbf{U} or (and) \mathbf{V} .

The widely used ones are the $\overset{\circ}{\frac{\partial \mathbf{r}}{\partial \mathbf{r}}}$ "squares" of \mathbf{U} and \mathbf{V}

$$\begin{aligned} (U^2) &= \mathbf{U} \cdot \mathbf{U} = \mathbf{F}^\top \cdot \mathbf{F} \equiv \mathbf{G}, \\ (V^2) &= \mathbf{V} \cdot \mathbf{V} = \mathbf{F} \cdot \mathbf{F}^\top \equiv \mathbf{\Phi}. \end{aligned} \tag{3.1}$$

These are the Green's deformation tensor (or the right Cauchy–Green tensor) \mathbf{G} and the Finger's deformation tensor (or the left Cauchy–Green tensor) $\mathbf{\Phi}$. They have the convenient link with the motion gradient \mathbf{F} , without calculating square roots (as it's needed for \mathbf{U} and \mathbf{V}). That's the big reason why tensors \mathbf{G} and $\mathbf{\Phi}$ are so widely used.

Tensor \mathbf{G} was first used by George Green*.

An inversion of $\mathbf{\Phi}$ and \mathbf{G} gives the two more deformation tensors

$$\begin{aligned} \mathbf{V}^{-2} &= \mathbf{\Phi}^{-1} = (\mathbf{F} \cdot \mathbf{F}^\top)^{-1} = \mathbf{F}^{-\top} \cdot \mathbf{F}^{-1} \equiv {}^2\mathbf{c}, \\ \mathbf{U}^{-2} &= \mathbf{G}^{-1} = (\mathbf{F}^\top \cdot \mathbf{F})^{-1} = \mathbf{F}^{-1} \cdot \mathbf{F}^{-\top} \equiv {}^2\mathbf{f}, \end{aligned} \quad (3.2)$$

each of which is sometimes called the Piola tensor or the Finger tensor. The inverse of the left Cauchy–Green tensor $\mathbf{\Phi}$ is the Cauchy deformation tensor ${}^2\mathbf{c}$.

The components of these tensors are

$$\begin{aligned} \mathbf{G} &= \mathring{\mathbf{r}}^i \mathbf{r}_{\partial i} \cdot \mathbf{r}_{\partial j} \mathring{\mathbf{r}}^j = G_{ij} \mathring{\mathbf{r}}^i \mathring{\mathbf{r}}^j, \quad G_{ij} \equiv \mathbf{r}_{\partial i} \cdot \mathbf{r}_{\partial j}, \\ {}^2\mathbf{f} &= \mathring{\mathbf{r}}_{\partial i} \mathbf{r}^i \cdot \mathbf{r}^j \mathring{\mathbf{r}}_{\partial j} = G^{ij} \mathring{\mathbf{r}}_{\partial i} \mathring{\mathbf{r}}_{\partial j}, \quad G^{ij} \equiv \mathbf{r}^i \cdot \mathbf{r}^j, \\ {}^2\mathbf{c} &= \mathbf{r}^i \mathring{\mathbf{r}}_{\partial i} \cdot \mathring{\mathbf{r}}_{\partial j} \mathbf{r}^j = g_{ij} \mathring{\mathbf{r}}^i \mathring{\mathbf{r}}^j, \quad g_{ij} \equiv \mathring{\mathbf{r}}_{\partial i} \cdot \mathring{\mathbf{r}}_{\partial j}, \\ \mathbf{\Phi} &= \mathbf{r}_{\partial i} \mathring{\mathbf{r}}^i \cdot \mathring{\mathbf{r}}^j \mathbf{r}_{\partial j} = g^{ij} \mathbf{r}_{\partial i} \mathbf{r}_{\partial j}, \quad g^{ij} \equiv \mathring{\mathbf{r}}^i \cdot \mathring{\mathbf{r}}^j, \end{aligned}$$

and they coincide with the components of the unit (metric) tensor

$$\begin{aligned} \mathbf{E} &= \mathbf{r}_{\partial i} \mathbf{r}^i = G_{ij} \mathbf{r}^i \mathbf{r}^j = \mathbf{r}^i \mathbf{r}_{\partial i} = G^{ij} \mathbf{r}_{\partial i} \mathbf{r}_{\partial j} \\ &= \mathring{\mathbf{r}}^i \mathring{\mathbf{r}}_{\partial i} = g^{ij} \mathring{\mathbf{r}}_{\partial i} \mathring{\mathbf{r}}_{\partial j} = \mathring{\mathbf{r}}_{\partial i} \mathring{\mathbf{r}}^i = g_{ij} \mathring{\mathbf{r}}^i \mathring{\mathbf{r}}^j, \end{aligned}$$

but the components' bases are different. Using only the index notation, it's easy to get confused due to the differences between the unit tensor \mathbf{E} and the strain tensors \mathbf{G} , $\mathbf{\Phi}$, ${}^2\mathbf{f}$, ${}^2\mathbf{c}$. The direct indexless notation has the obvious advantage here.

As was mentioned in §???, the invariants of the stretch tensors \mathbf{U} and \mathbf{V} are the same. If w_i are the three eigenvalues of \mathbf{U} and \mathbf{V} ,

* **Green, George.** (1839) On the propagation of light in crystallized media. *Transactions of the Cambridge Philosophical Society.* 1842, vol. 7, part II, pages 121–140.

that is the roots of the characteristic equations for these tensors, then here are their invariants:

$$\begin{aligned} \text{I}(\mathbf{U}) &= \text{I}(\mathbf{V}) = \text{trace } \mathbf{U} = \text{trace } \mathbf{V} = \sum U_{jj} = \sum V_{jj} = \sum w_i, \\ \text{II}(\mathbf{U}) &= \text{II}(\mathbf{V}) = w_1 w_2 + w_1 w_3 + w_2 w_3, \\ \text{III}(\mathbf{U}) &= \text{III}(\mathbf{V}) = w_1 w_2 w_3. \end{aligned}$$

The invariants of \mathbf{G} and Φ coincide too:

$$\text{I}(\mathbf{G}) = \text{I}(\Phi), \dots$$

Without a deformation

$$\mathbf{F} = \mathbf{U} = \mathbf{V} = \mathbf{G} = \Phi = {}^2\mathbf{f} = {}^2\mathbf{c} = \mathbf{E},$$

thus as characteristics of deformation it's worth taking the differences like $\mathbf{U} - \mathbf{E}$, $\mathbf{U} \cdot \mathbf{U} - \mathbf{E}$, ...

...

The right Cauchy–Green deformation tensor

George Green discovered a deformation tensor known as the right Cauchy–Green deformation tensor or Green's deformation tensor

$$\mathbf{G} = \mathbf{F}^\top \cdot \mathbf{F} = \mathbf{U}^2 \quad \text{or} \quad G_{ij} = F_{k'i} F_{k'j} = \frac{\partial x_{k'}}{\partial x_i^\circ} \frac{\partial x_{k'}}{\partial x_j^\circ}.$$

This tensor gives the “square” of local change in distances due to deformation: $d\mathbf{r} \cdot d\mathbf{r} = d\mathbf{r}^\circ \cdot \mathbf{G} \cdot d\mathbf{r}^\circ$

The most popular invariants of \mathbf{G} are

$$\begin{aligned} \text{I}(\mathbf{G}) &\equiv \text{trace } \mathbf{G} = G_{ii} = \gamma_1^2 + \gamma_2^2 + \gamma_3^2 \\ \text{II}(\mathbf{G}) &\equiv \frac{1}{2}(G_{jj}^2 - G_{ik}G_{ki}) = \gamma_1^2\gamma_2^2 + \gamma_2^2\gamma_3^2 + \gamma_3^2\gamma_1^2 \\ \text{III}(\mathbf{G}) &\equiv \det \mathbf{G} = \gamma_1^2\gamma_2^2\gamma_3^2 \end{aligned}$$

where γ_i are stretch ratios for unit fibers that are initially oriented along directions of eigenvectors of the right stretch tensor \mathbf{U} .

The inverse of Green's deformation tensor

Sometimes called the Finger tensor or the Piola tensor, the inverse of the right Cauchy–Green deformation tensor

$${}^2\mathbf{f} = \mathbf{G}^{-1} = \mathbf{F}^{-1} \bullet \mathbf{F}^{-\top} \quad \text{or} \quad f_{ij} = \frac{\partial \overset{\circ}{x}_i}{\partial x_{k'}} \frac{\partial \overset{\circ}{x}_j}{\partial x_{k'}}$$

The left Cauchy–Green or Finger deformation tensor

Swapping multipliers in the formula for the right Green–Cauchy deformation tensor leads to the left Cauchy–Green deformation tensor, defined as

$$\boldsymbol{\Phi} = \mathbf{F} \bullet \mathbf{F}^{\top} = \mathbf{V}^2 \quad \text{or} \quad \Phi_{ij} = \frac{\partial x_i}{\partial \overset{\circ}{x}_k} \frac{\partial x_j}{\partial \overset{\circ}{x}_k}$$

The left Cauchy–Green deformation tensor is often called the Finger's deformation tensor, named after Josef Finger (1894).

Invariants of $\boldsymbol{\Phi}$ are also used in expressions for strain energy density functions. The conventional invariants are defined as

$$\begin{aligned} I_1 &\equiv \Phi_{ii} = \lambda_1^2 + \lambda_2^2 + \lambda_3^2 \\ I_2 &\equiv \tfrac{1}{2}(\Phi_{ii}^2 - \Phi_{jk}\Phi_{kj}) = \lambda_1^2\lambda_2^2 + \lambda_2^2\lambda_3^2 + \lambda_3^2\lambda_1^2 \\ I_3 &\equiv \det \boldsymbol{\Phi} = J^2 = \lambda_1^2\lambda_2^2\lambda_3^2 \end{aligned}$$

($J \equiv \det \mathbf{F}$ is the Jacobian, determinant of the motion gradient)

The Cauchy deformation tensor

The Cauchy deformation tensor is defined as the inverse of the left Cauchy–Green deformation tensor

$${}^2\mathbf{c} = \boldsymbol{\Phi}^{-1} = \mathbf{F}^{-\top} \bullet \mathbf{F}^{-1} \quad \text{or} \quad c_{ij} = \frac{\partial \overset{\circ}{x}_k}{\partial x_i} \frac{\partial \overset{\circ}{x}_k}{\partial x_j}$$

$$d\overset{\circ}{\mathbf{r}} \bullet d\overset{\circ}{\mathbf{r}} = d\mathbf{r} \bullet {}^2\mathbf{c} \bullet d\mathbf{r}$$

This tensor is also called the Piola tensor or the Finger tensor in rheology and fluid dynamics literature.

The concept of *strain* is used to evaluate how much a given displacement differs locally from a body displacement as a whole (a “rigid body displacement”). One of such strains for large deformations is the *Green strain tensor* (*Green–Lagrangian strain tensor*, *Green–Saint-Venant strain tensor*), defined as

$$\mathbf{C} = \frac{1}{2}(\mathbf{G} - \mathbf{E}) \quad \text{or} \quad C_{ij} = \frac{1}{2} \left(\frac{\partial x_{k'}}{\partial \hat{x}_i} \frac{\partial x_{k'}}{\partial \hat{x}_j} - \delta_{ij} \right)$$

or as the function of the displacement gradient tensor

$$\mathbf{C} = \frac{1}{2} \left(\overset{\circ}{\nabla} \mathbf{u} + \overset{\circ}{\nabla} \mathbf{u}^\top + \overset{\circ}{\nabla} \mathbf{u} \cdot \overset{\circ}{\nabla} \mathbf{u}^\top \right)$$

in cartesian coordinates

$$C_{ij} = \frac{1}{2} \left(\frac{\partial u_j}{\partial \hat{x}_i} + \frac{\partial u_i}{\partial \hat{x}_j} + \frac{\partial u_k}{\partial \hat{x}_i} \frac{\partial u_k}{\partial \hat{x}_j} \right)$$

The Green strain tensor measures how much \mathbf{G} differs from \mathbf{E} .

The *Almansi–Hamel strain tensor*, referenced to the deformed configuration (“Eulerian description”), is defined as

$${}^2\mathbf{a} = \frac{1}{2}(\mathbf{E} - {}^2\mathbf{c}) = \frac{1}{2}(\mathbf{E} - \mathbf{\Phi}^{-1}) \quad \text{or} \quad a_{ij} = \frac{1}{2} \left(\delta_{ij} - \frac{\partial \hat{x}_k}{\partial x_i} \frac{\partial \hat{x}_k}{\partial x_j} \right)$$

or as function of the displacement gradient

$${}^2\mathbf{a} = \frac{1}{2} (\nabla \mathbf{u}^\top + \nabla \mathbf{u} - \nabla \mathbf{u} \cdot \nabla \mathbf{u}^\top)$$

$$a_{ij} = \frac{1}{2} \left(\frac{\partial u_i}{\partial x_j} + \frac{\partial u_j}{\partial x_i} - \frac{\partial u_k}{\partial x_i} \frac{\partial u_k}{\partial x_j} \right)$$

Seth–Hill family of abstract strain tensors

B. R. Seth was the first to show that the Green and Almansi strain tensors are special cases of a more abstract measure of

deformation. The idea was further expanded upon by Rodney Hill in 1968 (publication??). The Seth–Hill family of strain measures (also called Doyle–Ericksen tensors) is expressed as

$$\mathbf{D}_{(m)} = \frac{1}{2m} (\mathbf{U}^{2m} - \mathbf{E}) = \frac{1}{2m} (\mathbf{G}^m - \mathbf{E})$$

For various m it gives

$$\begin{aligned} \mathbf{D}_{(1)} &= \frac{1}{2} (\mathbf{U}^2 - \mathbf{E}) = \frac{1}{2} (\mathbf{G} - \mathbf{E}) && \text{Green strain tensor} \\ \mathbf{D}_{(1/2)} &= \mathbf{U} - \mathbf{E} = \mathbf{G}^{1/2} - \mathbf{E} && \text{Biot strain tensor} \\ \mathbf{D}_{(0)} &= \ln \mathbf{U} = \frac{1}{2} \ln \mathbf{G} && \text{logarithmic strain, Hencky strain} \\ \mathbf{D}_{(-1)} &= \frac{1}{2} (\mathbf{E} - \mathbf{U}^{-2}) && \text{Almansi strain} \end{aligned}$$

The second-order approximation of these tensors is

$$\mathbf{D}_{(m)} = \boldsymbol{\varepsilon} + \frac{1}{2} \nabla \mathbf{u} \bullet \nabla \mathbf{u}^\top - (1 - m) \boldsymbol{\varepsilon} \bullet \boldsymbol{\varepsilon}$$

where $\boldsymbol{\varepsilon} \equiv \nabla \mathbf{u}^S$ is the infinitesimal deformation tensor.

Many other different definitions of measures \mathbf{D} are possible, provided that they satisfy these conditions:

- ✓ \mathbf{D} vanishes for any movement of a body as a rigid whole
- ✓ dependence of \mathbf{D} on displacement gradient tensor $\nabla \mathbf{u}$ is continuous, continuously differentiable and monotonic
- ✓ it's desired that \mathbf{D} reduces to the infinitesimal linear deformation tensor $\boldsymbol{\varepsilon}$ when $\nabla \mathbf{u} \rightarrow 0$

For example, tensors from the set

$$\mathbf{D}^{(n)} = (\mathbf{U}^n - \mathbf{U}^{-n}) / 2n$$

aren't from the Seth–Hill family, but for any n they have the same 2nd-order approximation as Seth–Hill measures with $m = 0$.

Wikipedia, the free encyclopedia — Finite strain theory

...

Heinrich Hencky. Über die Form des Elastizitätsgesetzes bei ideal elastischen Stoffen. Zeitschrift für technische Physik, Vol. 9 (1928), Seiten 215–220.

....

§ 4. Velocity field

This topic is discussed in nearly any book about continuum mechanics, however for solid elastic continua it's not very vital. Among various models of a material continuum, an elastic solid body is distinguished by interesting possibility of deriving the complete set (system) of equations for it via the single logically flawless procedure. But now we follow the way, usual for fluid continuum mechanics.

So, there's velocity field in spatial description $\mathbf{v} \equiv \dot{\mathbf{r}} = \mathbf{v}(\mathbf{r}, t)$. Decomposition of tensor $\nabla \mathbf{v} = \nabla \dot{\mathbf{r}} = \mathbf{r}^i \partial_i \dot{\mathbf{r}} = \mathbf{r}^i \dot{\mathbf{r}}_{\partial i}^*$ into symmetric and skewsymmetric parts (§ ?? ??)

$$\nabla \dot{\mathbf{r}} = \nabla \dot{\mathbf{r}}^S - \frac{1}{2} (\nabla \times \dot{\mathbf{r}}) \times \mathbf{E}$$

or, introducing the rate of deformation tensor (rate of stretching tensor, strain rate tensor) \mathcal{D} and the vorticity tensor (rate of rotation tensor, spin tensor) \mathcal{W}

$$\begin{aligned} \nabla \mathbf{v} &= \mathcal{D} - \mathcal{W}, \\ \mathcal{D} \equiv \nabla \mathbf{v}^S &= \nabla \dot{\mathbf{r}}^S = \frac{1}{2} (\mathbf{r}^i \dot{\mathbf{r}}_{\partial i} + \dot{\mathbf{r}}_{\partial i} \mathbf{r}^i), \\ -\mathcal{W} \equiv \nabla \mathbf{v}^A &= -\mathbf{w} \times \mathbf{E}, \quad \mathbf{w} \equiv \frac{1}{2} \nabla \times \mathbf{v} = \frac{1}{2} \mathbf{r}^i \times \dot{\mathbf{r}}_{\partial i}, \end{aligned} \quad (4.1)$$

where also figures the vorticity (pseudo)vector \mathbf{w} , the companion of \mathcal{W} .

* For sufficiently smooth functions, partial derivatives always commute, space and time ones too. Thus

$$\frac{\partial}{\partial q^i} \frac{\partial \mathbf{r}}{\partial t} = \frac{\partial}{\partial t} \frac{\partial \mathbf{r}}{\partial q^i} \quad \text{or} \quad \partial_i \dot{\mathbf{r}} = \dot{\mathbf{r}}_{\partial i}$$

Components of the rate of deformation tensor in the current configuration's basis

$$\begin{aligned}\mathcal{D} &= \mathcal{D}_{ij} \mathbf{r}^i \mathbf{r}^j, \quad \mathcal{D}_{ij} = \mathbf{r}_{\partial i} \cdot \mathcal{D} \cdot \mathbf{r}_{\partial j} = \frac{1}{2} \mathbf{r}_{\partial i} \cdot (\mathbf{r}^k \dot{\mathbf{r}}_k + \dot{\mathbf{r}}_k \mathbf{r}^k) \cdot \mathbf{r}_{\partial j} = \\ &= \frac{1}{2} (\dot{\mathbf{r}}_{\partial i} \cdot \mathbf{r}_{\partial j} + \mathbf{r}_{\partial i} \cdot \dot{\mathbf{r}}_{\partial j}) = \frac{1}{2} (\mathbf{r}_{\partial i} \cdot \mathbf{r}_{\partial j})^\bullet\end{aligned}$$

...

$$\dot{G}_{ij}$$

$$G_{ij} \equiv \mathbf{r}_{\partial i} \cdot \mathbf{r}_{\partial j}$$

...

For elastic solid media, there's no need to discuss about rotations: the true representation appears along the way of logically harmonious conclusions and without additional hypotheses.

§ 5. Area vector. Surface change

Take an infinitesimal surface. The area vector by length is equal to the surface's area and is directed along the normal to this surface.

In the initial (original, undeformed, “material”, ~~reference~~) configuration, the area vector can be represented as $\mathring{\mathbf{n}} do$. Surface's area do is infinitely small, and $\mathring{\mathbf{n}}$ is unit normal vector.

In the present (current, actual, deformed, “spatial”) configuration, the same surface has area vector $\mathbf{n} d\mathcal{O}$.

With differential precision, these infinitesimal surfaces are parallelograms, thus

$$\begin{aligned}\mathring{\mathbf{n}} do &= d\mathring{\mathbf{r}}' \times d\mathring{\mathbf{r}}'' = \frac{\partial \mathring{\mathbf{r}}}{\partial q^i} dq^i \times \frac{\partial \mathring{\mathbf{r}}}{\partial q^j} dq^j = \mathring{\mathbf{r}}_{\partial i} \times \mathring{\mathbf{r}}_{\partial j} dq^i dq^j, \\ \mathbf{n} d\mathcal{O} &= d\mathbf{r}' \times d\mathbf{r}'' = \frac{\partial \mathbf{r}}{\partial q^i} dq^i \times \frac{\partial \mathbf{r}}{\partial q^j} dq^j = \mathbf{r}_{\partial i} \times \mathbf{r}_{\partial j} dq^i dq^j.\end{aligned}\tag{5.1}$$

Applying the transformation of volume (??), we have

$$\begin{aligned}
 d\mathcal{V} = Jd\mathcal{V}^{\circ} &\Rightarrow \mathbf{r}_{\partial i} \times \mathbf{r}_{\partial j} \cdot \mathbf{r}_{\partial k} = J\mathbf{r}_{\partial i}^{\circ} \times \mathbf{r}_{\partial j}^{\circ} \cdot \mathbf{r}_{\partial k}^{\circ} \Rightarrow \\
 &\Rightarrow \mathbf{r}_{\partial i} \times \mathbf{r}_{\partial j} \cdot \mathbf{r}_{\partial k} \mathbf{r}^k = J\mathbf{r}_{\partial i}^{\circ} \times \mathbf{r}_{\partial j}^{\circ} \cdot \mathbf{r}_{\partial k}^{\circ} \mathbf{r}^k \Rightarrow \\
 &\Rightarrow \mathbf{r}_{\partial i} \times \mathbf{r}_{\partial j} = J\mathbf{r}_{\partial i}^{\circ} \times \mathbf{r}_{\partial j}^{\circ} \cdot \mathbf{F}^{-1}.
 \end{aligned}$$

Hence with (5.1) we come to the relation

$$\mathbf{n}d\mathcal{O} = J\mathbf{n}^{\circ}d\mathcal{O}^{\circ} \cdot \mathbf{F}^{-1}, \quad (5.2)$$

called the Nanson's formula.

§ 6. Forces in continuum. Existence of the Cauchy stress tensor

Augustin-Louis Cauchy founded the *continuum mechanics* by assuming that two parts of a continuum interact by means of surface densities of the contact forces concentrated on the dividing surface.

Assuming that these contact forces depend only on the perpendicular (the normal) to the dividing surface and that the contact forces are balanced by some volume density of force, including inertia, Cauchy played with tetrahedrons and proved the existance of the stress tensor.

De la pression ou tension dans un corps solide. *Exercices de mathématiques*, par M. **Augustin-Louis Cauchy**. Seconde année: 1827. Paris, Chez de Bure frères. Pages 42 à 59.

The particles of a momentless model of a continuum are points with only translational degrees of freedom*. Thus there're no moments among generalized forces as well as no external couples.

Force $\rho \mathbf{f} d\mathcal{V}$ acts on infinitesimal volume $d\mathcal{V}$. If \mathbf{f} is a mass force (acting per unit of mass), then $\rho \mathbf{f}$ is a volume one. Such forces originate from force fields, for example: the gravitational forces

* The translational degrees of freedom appear from the particle's ability to move freely in space.

(“weight”), the forces of inertia in a non-inertial reference system, the electromagnetic forces in a medium with charges and currents.

Surface force $\mathbf{p}d\mathcal{O}$ acts on infinitesimal surface $d\mathcal{O}$. It may be a contact pressure or/and a friction, an electrostatic force with charges concentrated on the surface.

In a material continuum, like in any mechanical system, the external and the internal forces are distinguished. The internal forces balance the action of the external forces, and they are transmitted continuously from point to point. Since the times of Euler and Cauchy, the internal forces are assumed to be the surface short-range contact forces: on an infinitesimal surface $\mathbf{n}d\mathcal{O}$ acts the force $\mathbf{t}(\mathbf{n})d\mathcal{O}$. *It acts from?? that side of the two where the unit normal \mathbf{n} is directed.*

By the action–reaction principle, a traction vector $\mathbf{t}(\mathbf{n})$ is reversed (alters direction) together with a unit normal vector \mathbf{n} : $\mathbf{t}(-\mathbf{n}) = -\mathbf{t}(\mathbf{n})$. Sometimes this thesis is called “the Cauchy pill-box argument” and is proved thru the balance of momentum for an infinitely short cylinder with bases $\mathbf{n}d\mathcal{O}$ and $-\mathbf{n}d\mathcal{O}$.

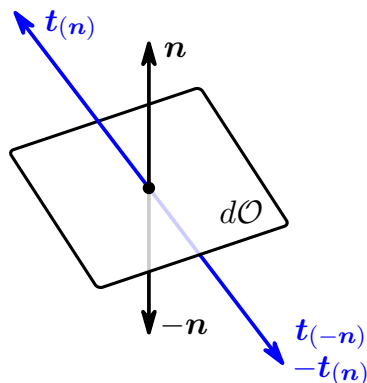


figure 1

Traction vector $\mathbf{t}(\mathbf{n})$ on the surface with the unit normal \mathbf{n} is called the surface traction vector or force-stress vector. However, $\mathbf{t}(\mathbf{n})$ is **not a vector field**: traction $\mathbf{t} = \mathbf{t}(\mathbf{n}, \mathbf{r}, t)$ depends not only on location \mathbf{r} of the point, but also on the local direction (defined by \mathbf{n}) of the surface element. An infinite number of surfaces of any direction contain the same point, and there are infinitely many traction vectors $\mathbf{t}(\mathbf{n})$ at each point.

The stress at a point of continuum is *not a vector field*. Such a field is more complex, it is an infinite collection of all traction vectors for all infinitesimal surfaces of any direction, containing that point.

And in fact, an infinite collection of all traction vectors at a point is completely defined by the only one single second complexity tensor — the Cauchy stress tensor $\boldsymbol{\tau}$.

The derivation of this thesis is described in many books. It is known as the theorem about existence of the Cauchy stress tensor — the one with the impressive tetrahedron argument.

The Cauchy tetrahedron argument and the proof of the existence of the Cauchy stress tensor.

On the surface of an infinitesimal material tetrahedron ...

...

§ 7. Balance of momentum and angular momentum

Consider some random finite volume \mathcal{V} of an elastic medium, contained within surface $\mathcal{O}(\partial\mathcal{V})$. It is loaded with external forces, surface contact ones $\boldsymbol{p}d\mathcal{O}$ and body (mass or volume) ones $\boldsymbol{f}dm = \rho\boldsymbol{f}d\mathcal{V}$.

The integral formulation of the balance of momentum is as follows

$$\left(\int_{\mathcal{V}} \rho \boldsymbol{v} d\mathcal{V} \right)^{\cdot} = \int_{\mathcal{V}} \rho \boldsymbol{f} d\mathcal{V} + \oint_{\mathcal{O}(\partial\mathcal{V})} \boldsymbol{p} d\mathcal{O}. \quad (7.1)$$

... $\boldsymbol{p} = \boldsymbol{t}_{(n)} = \boldsymbol{n} \cdot \boldsymbol{\tau}$...

Импульс слева найдём по (1.5), а поверхностный интеграл превратим в объёмный по теореме о дивергенции. Получим

$$\int_{\mathcal{V}} \left(\nabla \cdot \boldsymbol{\tau} + \rho(\boldsymbol{f} - \dot{\boldsymbol{v}}) \right) d\mathcal{V} = \mathbf{0}.$$

Но объём \mathcal{V} случаен, поэтому равно нулю подынтегральное выражение. Приходим к уравнению баланса импульса в локальной (дифференциальной) форме

$$\nabla \cdot \boldsymbol{\tau} + \rho(\boldsymbol{f} - \dot{\boldsymbol{v}}) = \mathbf{0}. \quad (7.2)$$

...

Now about the balance of the angular (rotational) momentum.
Here is the integral formulation:

$$\left(\int_{\mathcal{V}} \mathbf{r} \times \rho \mathbf{v} d\mathcal{V} \right)^{\bullet} = \int_{\mathcal{V}} \mathbf{r} \times \rho \mathbf{f} d\mathcal{V} + \oint_{\mathcal{O}(\partial\mathcal{V})} \mathbf{r} \times \mathbf{p} d\mathcal{O}. \quad (7.3)$$

Дифференцируя левую часть ($\mathbf{v} \equiv \dot{\mathbf{r}}$)

$$\left(\int_{\mathcal{V}} \mathbf{r} \times \rho \dot{\mathbf{r}} d\mathcal{V} \right)^{\bullet} = \int_{\mathcal{V}} \mathbf{r} \times \rho \ddot{\mathbf{r}} d\mathcal{V} + \int_{\mathcal{V}} \underbrace{\dot{\mathbf{r}} \times \rho \dot{\mathbf{r}}}_{\mathbf{0}} d\mathcal{V},$$

применяя теорему о дивергенции к поверхностному интегралу

$$(\dots \mathbf{p} = \mathbf{t}_{(n)} = \mathbf{n} \cdot \boldsymbol{\tau} \dots)$$

$$\mathbf{r} \times (\mathbf{n} \cdot \boldsymbol{\tau}) = -(\mathbf{n} \cdot \boldsymbol{\tau}) \times \mathbf{r} = -\mathbf{n} \cdot (\boldsymbol{\tau} \times \mathbf{r}) \Rightarrow$$

$$\Rightarrow \oint_{\mathcal{O}(\partial\mathcal{V})} \mathbf{r} \times (\mathbf{n} \cdot \boldsymbol{\tau}) d\mathcal{O} = - \int_{\mathcal{V}} \nabla \cdot (\boldsymbol{\tau} \times \mathbf{r}) d\mathcal{V},$$

...

$$\int_{\mathcal{V}} \mathbf{r} \times \rho \ddot{\mathbf{r}} d\mathcal{V} = \int_{\mathcal{V}} \mathbf{r} \times \rho \mathbf{f} d\mathcal{V} - \int_{\mathcal{V}} \nabla \cdot (\boldsymbol{\tau} \times \mathbf{r}) d\mathcal{V},$$

$$\int_{\mathcal{V}} \mathbf{r} \times \rho (\mathbf{f} - \ddot{\mathbf{r}}) d\mathcal{V} - \int_{\mathcal{V}} \nabla \cdot (\boldsymbol{\tau} \times \mathbf{r}) d\mathcal{V} = \mathbf{0},$$

...

$$\underbrace{\nabla \cdot (\boldsymbol{\tau} \times \mathbf{r})}_{\mathbf{r}^i \cdot \partial_i (\boldsymbol{\tau} \times \mathbf{r})} = \underbrace{(\nabla \cdot \boldsymbol{\tau}) \times \mathbf{r}}_{\mathbf{r}^i \cdot (\partial_i \boldsymbol{\tau}) \times \mathbf{r}} + \mathbf{r}^i \cdot (\boldsymbol{\tau} \times \partial_i \mathbf{r})$$

$$\boldsymbol{\tau} = e_i \mathbf{t}_{(i)}, \quad e_i = \text{constant}$$

$$\begin{aligned} \mathbf{r}^i \cdot (\boldsymbol{\tau} \times \partial_i \mathbf{r}) &= \mathbf{r}^i \cdot (\mathbf{e}_j \mathbf{t}_{(j)} \times \mathbf{r}_i) = \mathbf{r}^i \cdot \mathbf{e}_j \mathbf{t}_{(j)} \times \mathbf{r}_i = \\ &= -\mathbf{e}_j \cdot \mathbf{r}^i \mathbf{r}_i \times \mathbf{t}_{(j)} = -\mathbf{e}_j \cdot \mathbf{E} \times \mathbf{t}_{(j)} = -\mathbf{e}_j \times \mathbf{t}_{(j)} = -\boldsymbol{\tau}_{\times} \end{aligned}$$

...

§ 8. Eigenvalues of the Cauchy stress tensor. Mohr's circles

Like any symmetric bivalent tensor, the Cauchy stress tensor $\boldsymbol{\tau}$ has три вещественных собственных числá σ_i , а также тройку взаимно перпендикулярных собственных векторов единичной длины (§ ??). Собственные числа тензора $\boldsymbol{\tau}$ называются главными напряжениями (principal stresses).

In representation $\boldsymbol{\tau} = \sum \sigma_i \mathbf{e}_i \mathbf{e}_i$ most often indices are sorted descending $\sigma_1 \geq \sigma_2 \geq \sigma_3$, а тройка \mathbf{e}_i ориентирована как “правая”.

Известна теорема о кругах Мора (Mohr's circles)*

...

Чтобы замкнуть набор (систему) уравнений модели сплошной среды, нужно добавить определяющие отношения (constitutive relations) — уравнения, связывающие напряжение с деформацией (и другие необходимые связи). However, for a solid elastic continuum такой длинный путь построения модели излишен, что читатель и увидит ниже.

§ 9. Principle of virtual work (without Lagrange multipliers)

According to the principle of virtual work for some finite volume of continuum

$$\int_{\mathcal{V}} (\rho \mathbf{f} \cdot \delta \mathbf{r} + \delta W^{(i)}) d\mathcal{V} + \oint_{\mathcal{O}(\partial \mathcal{V})} \mathbf{n} \cdot \boldsymbol{\tau} \cdot \delta \mathbf{r} d\mathcal{O} = 0. \quad (9.1)$$

Here $\delta W^{(i)}$ is work of internal forces per volume unit in the current configuration; \mathbf{f} is mass force, with dynamics $(\mathbf{f} - \ddot{\mathbf{r}})$; $\mathbf{p} = \mathbf{t}_{(n)} = \mathbf{n} \cdot \boldsymbol{\tau}$ is surface force.

* Mohr's circles, named after Christian Otto Mohr, is a two-dimensional graphical representation of transformation for the Cauchy stress tensor.

Applying the divergence theorem to the surface integral, using*

$$\nabla \cdot (\boldsymbol{\tau} \cdot \delta \mathbf{r}) = \nabla \cdot \boldsymbol{\tau} \cdot \delta \mathbf{r} + \boldsymbol{\tau} \cdot \nabla \delta \mathbf{r}^\top$$

and randomness of \mathcal{V} , we get the local differential version of (9.1)

$$(\nabla \cdot \boldsymbol{\tau} + \rho \mathbf{f}) \cdot \delta \mathbf{r} + \boldsymbol{\tau} \cdot \nabla \delta \mathbf{r}^\top + \delta W^{(i)} = 0. \quad (9.2)$$

When a body virtually moves as a rigid whole, the work of internal forces nullifies

$$\begin{aligned} \delta \mathbf{r} &= \delta \boldsymbol{\rho} + \delta \mathbf{o} \times \mathbf{r} \Rightarrow \delta W^{(i)} = 0, \\ (\nabla \cdot \boldsymbol{\tau} + \rho \mathbf{f}) \cdot (\delta \boldsymbol{\rho} + \delta \mathbf{o} \times \mathbf{r}) + \boldsymbol{\tau}^\top \cdot \nabla (\delta \boldsymbol{\rho} + \delta \mathbf{o} \times \mathbf{r}) &= 0, \\ \delta \boldsymbol{\rho} = \text{constant} \Rightarrow \nabla \delta \boldsymbol{\rho} &= {}^2\mathbf{0}, \quad \delta \mathbf{o} = \text{constant} \Rightarrow \nabla \delta \mathbf{o} = {}^2\mathbf{0}, \\ \nabla (\delta \boldsymbol{\rho} + \delta \mathbf{o} \times \mathbf{r}) &= \nabla (\delta \mathbf{o} \times \mathbf{r}) = \nabla \delta \mathbf{o} \times \mathbf{r} - \nabla \mathbf{r} \times \delta \mathbf{o} = \\ &= -\nabla \mathbf{r} \times \delta \mathbf{o} = -\mathbf{E} \times \delta \mathbf{o} \\ &\dots \end{aligned}$$

Assuming $\delta \mathbf{o} = \mathbf{0}$ (just a translation) $\Rightarrow \nabla \delta \mathbf{r} = \nabla \delta \boldsymbol{\rho} = {}^2\mathbf{0}$, it turns into the balance of forces (of momentum)

$$\nabla \cdot \boldsymbol{\tau} + \rho \mathbf{f} = \mathbf{0}.$$

If $\delta \mathbf{r} = \delta \mathbf{o} \times \mathbf{r}$ (just rotation) with $\delta \mathbf{o} = \text{constant}$, then

$$\begin{aligned} (??, \S ??) &\Rightarrow \nabla \delta \mathbf{r} = \nabla \delta \mathbf{o} \times \mathbf{r} - \nabla \mathbf{r} \times \delta \mathbf{o} = -\mathbf{E} \times \delta \mathbf{o}, \\ \nabla \delta \mathbf{r}^\top &= \mathbf{E} \times \delta \mathbf{o} \end{aligned}$$

With

$$\begin{aligned} (??, \S ??) &\Rightarrow \boldsymbol{\tau}_\times = -\boldsymbol{\tau} \cdot {}^3\boldsymbol{\epsilon}, \\ \boldsymbol{\tau} \cdot (\mathbf{E} \times \delta \mathbf{o}) &= \boldsymbol{\tau} \cdot (-{}^3\boldsymbol{\epsilon} \cdot \delta \mathbf{o}) = (-\boldsymbol{\tau} \cdot {}^3\boldsymbol{\epsilon}) \cdot \delta \mathbf{o} = \boldsymbol{\tau}_\times \cdot \delta \mathbf{o} \end{aligned}$$

...

$$\begin{aligned} * \mathbf{r}^i \cdot \partial_i (\boldsymbol{\tau} \cdot \delta \mathbf{r}) &= \mathbf{r}^i \cdot (\partial_i \boldsymbol{\tau}) \cdot \delta \mathbf{r} + \mathbf{r}^i \cdot \boldsymbol{\tau} \cdot \partial_i (\delta \mathbf{r}), \\ \mathbf{r}^i \cdot \boldsymbol{\tau} \cdot \partial_i (\delta \mathbf{r}) &= \boldsymbol{\tau} \cdot \partial_i (\delta \mathbf{r}) \mathbf{r}^i = \boldsymbol{\tau} \cdot (\mathbf{r}^i \partial_i \delta \mathbf{r})^\top \end{aligned}$$

In an elastic continuum, the internal forces are potential

$$\delta W^{(i)} = -\rho \delta \tilde{\Pi}$$

...

“The elastic potential energy density per volume unit”, becomes when shorting “The elastic potential ...”

Плотность упругой потенциальной энергии, запасённой|накопленной в единице объёма тела (среды).

Дословный перевод с english на русский фразы “the elastic potential” даёт “упругий потенциал”

....

$$\boldsymbol{\tau} \cdot \nabla \delta \mathbf{r}^S = -\delta W^{(i)} = \rho \delta \tilde{\Pi} \quad (9.3)$$

...

Вид потенциала $\tilde{\Pi}$ per mass unit пока неизвестен, но очевидно что $\tilde{\Pi}$ определяется деформацией.

With the balance of mass $\rho J = \overset{\circ}{\rho} \Leftrightarrow \rho = J^{-1} \overset{\circ}{\rho}$ ($J \equiv \det \mathbf{F}$ is the Jacobian, determinant of the motion gradient), потенциал на единицу объёма в недеформированной конфигурации $\overset{\circ}{\Pi}$ имеет вид

$$\begin{aligned} \overset{\circ}{\Pi} \equiv \overset{\circ}{\rho} \tilde{\Pi} &\Rightarrow \delta \overset{\circ}{\Pi} = \overset{\circ}{\rho} \delta \tilde{\Pi}, \\ \rho \delta \tilde{\Pi} &= J^{-1} \delta \overset{\circ}{\Pi}. \end{aligned} \quad (9.4)$$

Полным аналогом (...) является равенство

...

§ 10. Constitutive relations of elasticity

Fundamental relation of elasticity (??)

...

$$\Pi(C) = \int_0^C \boldsymbol{\tau} \cdot d\mathbf{C}$$

If the strain energy density is path independent, then it acts as a potential for stress, that is

$$\boldsymbol{\tau} = \frac{\partial \Pi(\boldsymbol{C})}{\partial \boldsymbol{C}}$$

For adiabatic processes, Π is equal to the change in internal energy per unit of volume.

For isothermal processes, Π is equal to the Helmholtz free energy per unit of volume.

The natural configuration of a body is defined as the configuration in which the body is in stable thermal equilibrium with no external loads and zero stress and strain.

When we apply energy methods in elasticity, we implicitly assume that a body returns to its natural configuration after loads are removed. This implies that the Gibbs' condition is satisfied:

$$\Pi(\boldsymbol{C}) \geq 0 \quad \text{with} \quad \Pi(\boldsymbol{C}) = 0 \quad \text{iff} \quad \boldsymbol{C} = \mathbf{0}$$

...

Начальная конфигурация считается естественной (natural configuration) — недеформированной ненапряжённой : $\boldsymbol{C} = {}^2\mathbf{0} \Leftrightarrow \boldsymbol{\tau} = {}^2\mathbf{0}$, поэтому в Π нет линейных членов.

Тензор жёсткости ${}^4\mathcal{A}$

...

A rubber-like material (an elastomer)

Для материала типа резины (эластомера) характерны большие деформации. Функция $\Pi(\text{I}, \text{II}, \text{III})$ для такого материала бывает весьма сложной*.

Преимущества использования \boldsymbol{u} и \boldsymbol{C} исчезают, если деформации большие (конечные) — проще остаться с вектором-радиусом \boldsymbol{r}

...

...

* **Harold Alexander**. A constitutive relation for rubber-like materials // International Journal of Engineering Science, volume 6 (September 1968), pages 549–563.

§ 11. Piola–Kirchhoff stress tensors and other measures of stress

Соотношение Nanson’a $\boldsymbol{n}d\mathcal{O} = J\mathring{\boldsymbol{n}}d\boldsymbol{o} \cdot \boldsymbol{F}^{-1}$ между векторами бесконечно малой площадки в начальной ($\mathring{\boldsymbol{n}}d\boldsymbol{o}$) и в текущей ($\boldsymbol{n}d\mathcal{O}$) конфигурациях*

$$(5.2) \Rightarrow \boldsymbol{n}d\mathcal{O} \cdot \boldsymbol{\tau} = J\mathring{\boldsymbol{n}}d\boldsymbol{o} \cdot \boldsymbol{F}^{-1} \cdot \boldsymbol{\tau} \Rightarrow \boldsymbol{n} \cdot \boldsymbol{\tau}d\mathcal{O} = \mathring{\boldsymbol{n}} \cdot J\boldsymbol{F}^{-1} \cdot \boldsymbol{\tau}d\boldsymbol{o}$$

gives the dual expression of a surface force

$$\boldsymbol{n} \cdot \boldsymbol{\tau}d\mathcal{O} = \mathring{\boldsymbol{n}} \cdot \boldsymbol{T}d\boldsymbol{o}, \quad \boldsymbol{T} \equiv J\boldsymbol{F}^{-1} \cdot \boldsymbol{\tau}. \quad (11.1)$$

Тензор \boldsymbol{T} называется первым (несимметричным) тензором напряжения Piola–Kirchhoff, иногда — “номинальным напряжением” (“nominal stress”) или “инженерным напряжением” (“engineering stress”). Бывает и когда какое-либо из этих (на)именований даётся транспонированному тензору

$$\boldsymbol{T}^\top = J\boldsymbol{\tau}^\top \cdot \boldsymbol{F}^{-\top} = J\boldsymbol{\tau} \cdot \boldsymbol{F}^{-\top}.$$

Обращение (11.1)

$$J^{-1}\boldsymbol{F} \cdot \boldsymbol{T} = J^{-1}\boldsymbol{F} \cdot J\boldsymbol{F}^{-1} \cdot \boldsymbol{\tau} \Rightarrow \boldsymbol{\tau} = J^{-1}\boldsymbol{F} \cdot \boldsymbol{T}$$

...

$$\delta\Pi = \boldsymbol{T} \cdot \delta\mathring{\boldsymbol{\nabla}}\boldsymbol{r}^\top \Rightarrow \Pi = \Pi(\mathring{\boldsymbol{\nabla}}\boldsymbol{r}) \quad (11.2)$$

— этот немного неожиданный результат получился благодаря коммутативности δ и $\mathring{\boldsymbol{\nabla}}$: $\mathring{\boldsymbol{\nabla}}\delta\boldsymbol{r}^\top = \delta\mathring{\boldsymbol{\nabla}}\boldsymbol{r}^\top$ ($\mathring{\boldsymbol{\nabla}}$ and δ don’t commute).

Тензор \boldsymbol{T} оказался энергетически сопряжённым с $\boldsymbol{F} \equiv \mathring{\boldsymbol{\nabla}}\boldsymbol{r}^\top$

$$\boldsymbol{T} = \frac{\partial\Pi}{\partial\mathring{\boldsymbol{\nabla}}\boldsymbol{r}^\top} = \frac{\partial\Pi}{\partial\boldsymbol{F}}. \quad (11.3)$$

* Like before, $\boldsymbol{F} = \frac{\partial\boldsymbol{r}}{\partial\mathring{\boldsymbol{r}}} = \boldsymbol{r}_{\partial i} \mathring{\boldsymbol{r}}^i = \mathring{\boldsymbol{\nabla}}\boldsymbol{r}^\top$ is motion gradient, $J \equiv \det \boldsymbol{F}$ is the Jacobian (the Jacobian determinant).

Второй (симметричный) тензор напряжения Piola–Kirchhoff \mathbf{S} энергетически сопряжён с $\mathbf{G} \equiv \mathbf{F}^\top \cdot \mathbf{F}$ и $\mathbf{C} \equiv \frac{1}{2}(\mathbf{G} - \mathbf{E})$

$$\begin{aligned} \delta \Pi(\mathbf{C}) = \mathbf{S} \cdot \delta \mathbf{C} &\Rightarrow \mathbf{S} = \frac{\partial \Pi}{\partial \mathbf{C}}, \\ d\mathbf{G} = 2d\mathbf{C} &\Rightarrow \delta \Pi(\mathbf{G}) = \frac{1}{2} \mathbf{S} \cdot \delta \mathbf{G}, \quad \mathbf{S} = 2 \frac{\partial \Pi}{\partial \mathbf{G}}. \end{aligned} \quad (11.4)$$

Связь между первым и вторым тензорами

$$\mathbf{S} = \mathbf{T} \cdot \mathbf{F}^{-\top} = \mathbf{F}^{-1} \cdot \mathbf{T}^\top \Leftrightarrow \mathbf{T} = \mathbf{S} \cdot \mathbf{F}^\top, \quad \mathbf{T}^\top = \mathbf{F} \cdot \mathbf{S}$$

и между тензором \mathbf{S} и тензором напряжения Cauchy $\boldsymbol{\tau}$

$$\mathbf{S} = J \mathbf{F}^{-1} \cdot \boldsymbol{\tau} \cdot \mathbf{F}^{-\top} \Leftrightarrow J^{-1} \mathbf{F} \cdot \mathbf{S} \cdot \mathbf{F}^\top = \boldsymbol{\tau}.$$

...

$$\begin{aligned} \mathbf{T} &= \frac{\partial \Pi}{\partial \mathbf{C}} \cdot \mathbf{F}^\top = 2 \frac{\partial \Pi}{\partial \mathbf{G}} \cdot \mathbf{F}^\top \\ \delta \mathbf{S} &= \frac{\partial \mathbf{S}}{\partial \mathbf{C}} \cdot \delta \mathbf{C} = \frac{\partial^2 \Pi}{\partial \mathbf{C} \partial \mathbf{C}} \cdot \delta \mathbf{C} \\ \delta \mathbf{T} &= \delta \mathbf{S} \cdot \mathbf{F}^\top + \mathbf{S} \cdot \delta \mathbf{F}^\top \end{aligned}$$

...

The quantity $\boldsymbol{\kappa} = J \boldsymbol{\tau}$ is called the *Kirchhoff stress tensor* and is used widely in numerical algorithms in metal plasticity (where there's no change in volume during plastic deformation). Another name for it is *weighted Cauchy stress tensor*.

...

Here's balance of forces (of momentum) with tensor \mathbf{T} for any undeformed volume $\mathring{\mathcal{V}}$

$$\int_{\mathcal{V}} \rho \mathbf{f} d\mathcal{V} + \int_{\mathcal{O}(\partial \mathcal{V})} \mathbf{n} \cdot \boldsymbol{\tau} d\mathcal{O} = \int_{\mathring{\mathcal{V}}} \mathring{\rho} \mathbf{f} d\mathring{\mathcal{V}} + \int_{\mathcal{O}(\partial \mathring{\mathcal{V}})} \mathring{\mathbf{n}} \cdot \mathbf{T} d\mathcal{O} = \int_{\mathring{\mathcal{V}}} \left(\mathring{\rho} \mathbf{f} + \mathring{\nabla} \cdot \mathbf{T} \right) d\mathring{\mathcal{V}} = \mathbf{0}$$

or in the local (differential) version

$$\overset{\circ}{\nabla} \cdot \mathbf{T} + \overset{\circ}{\rho} \mathbf{f} = \mathbf{0}. \quad (11.5)$$

Advantages of this equation in comparison with (7.2) are: here figures the known mass density $\overset{\circ}{\rho}$ of an undeformed volume $\overset{\circ}{\mathcal{V}}$, and the operator $\overset{\circ}{\nabla} \equiv \overset{\circ}{\mathbf{r}}^i \partial_i$ is defined through the known vectors $\overset{\circ}{\mathbf{r}}^i$. The appearance of \mathbf{T} presents the specific property of an elastic solid body — “to retain” its initial configuration. Tensor \mathbf{T} is unlikely useful in fluid mechanics.

Principle of virtual work for an arbitrary volume $\overset{\circ}{\mathcal{V}}$ of the elastic $(\delta W^{(i)} = -\delta \Pi)$ continuum:

$$\begin{aligned} \int_{\overset{\circ}{\mathcal{V}}} \left(\overset{\circ}{\rho} \mathbf{f} \cdot \delta \mathbf{r} - \delta \Pi \right) d\overset{\circ}{\mathcal{V}} + \int_{o(\partial \overset{\circ}{\mathcal{V}})} \overset{\circ}{\mathbf{n}} \cdot \mathbf{T} \cdot \delta \mathbf{r} \, do &= 0, \\ \overset{\circ}{\nabla} \cdot (\mathbf{T} \cdot \delta \mathbf{r}) &= \overset{\circ}{\nabla} \cdot \mathbf{T} \cdot \delta \mathbf{r} + \mathbf{T}^\top \cdot \overset{\circ}{\nabla} \delta \mathbf{r}, \quad \mathbf{T}^\top \cdot \overset{\circ}{\nabla} \delta \mathbf{r} = \mathbf{T} \cdot \overset{\circ}{\nabla} \delta \mathbf{r}^\top \\ \delta \Pi &= \left(\overset{\circ}{\rho} \mathbf{f} + \overset{\circ}{\nabla} \cdot \mathbf{T} \right) \cdot \delta \mathbf{r} + \mathbf{T} \cdot \overset{\circ}{\nabla} \delta \mathbf{r}^\top \end{aligned}$$

....

The first one is non-symmetric, it links forces in the deformed stressed configuration to the underfomed geometry and mass (volumes, areas, densities as they were initially), and it is energetically conjugate to the motion gradient (often mistakenly called the “deformation gradient”, forgetting about rigid rotations). The first (or sometimes its transpose) is also known as “nominal stress” and “engineering stress”.

The second one is symmetric, it links loads in the initial undeformed configuration to the initial mass and geometry, and it is conjugate to the right Cauchy–Green deformation tensor (and thus to the Cauchy–Green–Venant measure of deformation).

The first is simpler when you use just the motion gradient and is more universal, but the second is simpler when you prefer right Cauchy–Green deformation and its offsprings.

There’s also popular Cauchy stress, which relates forces in the deformed configuration to the deformed geometry and mass.

“energetically conjugate” means that their product is kind of energy, here: elastic potential energy per unit of volume

.....

In the case of finite deformations, the Piola–Kirchhoff tensors \mathbf{T} and \mathbf{S} describe the stress relative to the initial configuration. In contrast with them, the Cauchy stress tensor $\boldsymbol{\tau}$ describes the stress relative to the current configuration. For infinitesimal deformations, the Cauchy and Piola–Kirchhoff stress tensors are identical.

1st Piola–Kirchhoff stress tensor

The 1st Piola–Kirchhoff stress tensor \mathbf{T} relates forces in the current (present, “spatial”) configuration with areas in the initial (“material”) configuration

$$\mathbf{T} = J \boldsymbol{\tau} \cdot \mathbf{F}^{-\top}$$

where \mathbf{F} is the motion gradient and $J \equiv \det \mathbf{F}$ is the Jacobi determinant, Jacobian.

Because it relates different coordinate systems, the 1st Piola–Kirchhoff stress is a two-point tensor. Commonly, it’s not symmetric.

The 1st Piola–Kirchhoff stress is the 3D generalization of the 1D concept of engineering stress.

If the material rotates without a change in stress (rigid rotation), the components of the 1st Piola–Kirchhoff stress tensor will vary with material orientation.

The 1st Piola–Kirchhoff stress is energy conjugate to the motion gradient.

2nd Piola–Kirchhoff stress tensor

The 2nd Piola–Kirchhoff stress tensor \mathbf{S} relates forces in the initial configuration to areas in the initial configuration. The force in the initial configuration is obtained via mapping that preserves the relative relationship between the force direction and the area normal in the initial configuration.

$$\mathbf{S} = J \mathbf{F}^{-1} \cdot \boldsymbol{\tau} \cdot \mathbf{F}^{-\top}$$

This tensor is a one-point tensor and it is symmetric.

If the material rotates without a change in stress (rigid rotation), the 2nd Piola–Kirchhoff stress tensor remain constant, irrespective of material orientation.

The 2nd Piola–Kirchhoff stress tensor is energy conjugate to the Green–Lagrange finite strain tensor.

...

§ 12. Variation of present configuration

Usually the two configurations of a nonlinear elastic medium are considered: the initial one with location vectors $\overset{\circ}{\mathbf{r}}$ and the current (present) one with \mathbf{r} .

And the following equations describe a small change of the current configuration with infinitesimal changes to the location vector $\delta\mathbf{r}$, to the vector of mass forces $\delta\mathbf{f}$, to the first Piola–Kirchhoff stress tensor $\delta\mathbf{T}$ and to the deformation tensor $\delta\mathbf{C}$.

By varying (11.5), (.....)* and (.....), we get

$$\begin{aligned}\rho\delta\mathbf{f} + \overset{\circ}{\nabla} \cdot \delta\mathbf{T} &= \mathbf{0}, \quad \delta\mathbf{T} = \left(\frac{\partial^2 \Pi}{\partial \mathbf{C} \partial \mathbf{C}} \cdot \delta\mathbf{C} \right) \cdot \mathbf{F}^\top + \frac{\partial \Pi}{\partial \mathbf{C}} \cdot \delta\mathbf{F}^\top, \\ \delta\mathbf{F}^\top &= \delta\overset{\circ}{\nabla}\mathbf{r} = \overset{\circ}{\nabla}\delta\mathbf{r} = \mathbf{F}^\top \cdot \nabla\delta\mathbf{r}, \quad \delta\mathbf{F} = \delta\overset{\circ}{\nabla}\mathbf{r}^\top = \nabla\delta\mathbf{r}^\top \cdot \mathbf{F}, \\ \delta\mathbf{C} &= \mathbf{F}^\top \cdot \delta\boldsymbol{\varepsilon} \cdot \mathbf{F}, \quad \delta\boldsymbol{\varepsilon} \equiv \nabla\delta\mathbf{r}^S.\end{aligned}\tag{12.1}$$

...

$$\begin{aligned}(5.2) \Rightarrow \dot{\mathbf{n}}d\mathcal{O} &= J^{-1}\mathbf{n}d\mathcal{O} \cdot \mathbf{F} \Rightarrow \dot{\mathbf{n}} \cdot \delta\mathbf{T}d\mathcal{O} = J^{-1}\mathbf{n} \cdot \mathbf{F} \cdot \delta\mathbf{T}d\mathcal{O} \Rightarrow \\ &\Rightarrow \dot{\mathbf{n}} \cdot \delta\mathbf{T}d\mathcal{O} = \mathbf{n} \cdot \delta\boldsymbol{\tau}d\mathcal{O}, \quad \delta\boldsymbol{\tau} \equiv J^{-1}\mathbf{F} \cdot \delta\mathbf{T}\end{aligned}$$

— введённый так tensor $\delta\boldsymbol{\tau}$ связан с вариацией $\delta\mathbf{T}$ как $\boldsymbol{\tau}$ связан с \mathbf{T} ($\boldsymbol{\tau} = J^{-1}\mathbf{F} \cdot \mathbf{T}$). Из (12.1) и ...

...

... корректируя коэффициенты линейной функции $\delta\boldsymbol{\tau}(\nabla\delta\mathbf{r})$.

§ 13. Internal constraints

До сих пор деформация считалась свободной, мера деформации \mathbf{C} могла быть любой. Однако, существуют материалы со значительным сопротивлением некоторым видам деформации. Резина, например, изменению формы сопротивляется намного меньше,

$$\begin{aligned}^* \nabla &= \nabla \cdot \overset{\circ}{\nabla}\overset{\circ}{\mathbf{r}} = \mathbf{r}^i \partial_i \cdot \overset{\circ}{\mathbf{r}}^j \partial_j \overset{\circ}{\mathbf{r}} \stackrel{?}{=} \mathbf{r}^i \partial_i \overset{\circ}{\mathbf{r}} \cdot \overset{\circ}{\mathbf{r}}^j \partial_j = \nabla \overset{\circ}{\mathbf{r}} \cdot \overset{\circ}{\nabla} = \mathbf{F}^{-\top} \cdot \overset{\circ}{\nabla} \\ \overset{\circ}{\nabla} &= \overset{\circ}{\nabla} \cdot \nabla \mathbf{r} = \overset{\circ}{\mathbf{r}}^i \partial_i \cdot \mathbf{r}^j \partial_j \mathbf{r} \stackrel{?}{=} \overset{\circ}{\mathbf{r}}^i \partial_i \mathbf{r} \cdot \mathbf{r}^j \partial_j = \overset{\circ}{\nabla} \mathbf{r} \cdot \nabla = \mathbf{F}^\top \cdot \nabla\end{aligned}$$

чем изменению объёма — некоторые виды резины можно считать несжимаемым материалом.

Понятие геометрической связи, развитое в общей механике ...

...

for incompressible materials $\Pi = \Pi(I, II)$

Mooney–Rivlin model of incompressible material

$$\Pi = c_1(I - 3) + c_2(II - 3)$$

incompressible Treloar (neo-Hookean) material

$$c_2 = 0 \Rightarrow \Pi = c_1(I - 3)$$

...

§ 14. Hollow sphere under pressure

Решение этой относительно простой задачи описано во многих книгах. В начальной (ненапряжённой) конфигурации имеем сферу с внутренним радиусом r_0 и наружным r_1 . Давление равно p_0 внутри и p_1 снаружи.

Введём удобную для этой задачи сферическую систему координат в отсчётной конфигурации $q^1 = \theta$, $q^2 = \phi$, $q^3 = r$ (рисунок ??). Эти же координаты будут и материальными. Имеем

...

§ 15. Stresses as Lagrange multipliers

Описанному ранее в § 9 использованию принципа виртуальной работы предшествовало введение тензора напряжения Cauchy через баланс сил для бесконечно малого тетраэдра (§ 6). Но теперь мы увидим, что сей принцип применим и без рассуждений с тетраэдром.

Рассмотрим тело — не только лишь упругое, с любой виртуальной работой внутренних сил $\delta W^{(i)}$ per mass unit — нагруженное массовыми $\mathbf{f} dm$ (для краткости пишем \mathbf{f} вместо $\mathbf{f} - \ddot{\mathbf{r}}$, так что динамика присутствует) и поверхностными $\mathbf{p} d\mathcal{O}$ внешними силами. Имеем вариационное уравнение

$$\int_V \rho (\mathbf{f} \cdot \delta \mathbf{r} + \delta W^{(i)}) dV + \int_{\mathcal{O}(\partial V)} \mathbf{p} \cdot \delta \mathbf{r} d\mathcal{O} = 0. \quad (15.1)$$

It is assumed that the internal forces don't produce a work, when a continuum (a body) virtually moves $\delta \mathbf{r}$ as a whole without deformations ($\delta \boldsymbol{\varepsilon} = {}^2\mathbf{0}$). Then

$$\delta \boldsymbol{\varepsilon} = \nabla \delta \mathbf{r}^S = {}^2\mathbf{0} \Rightarrow \delta W^{(i)} = 0. \quad (15.2)$$

Отбросив $\delta W^{(i)}$ в (15.1) при условии (15.2), получим вариационное уравнение со связью. Приём с множителями Лагранжа даёт возможность считать вариации $\delta \mathbf{r}$ независимыми. Поскольку в каждой точке связь представлена симметричным тензором второй сложности, то таким же тензором будут и множители Лагранжа ${}^2\boldsymbol{\lambda}$. Приходим к уравнению

$$\int_V (\rho \mathbf{f} \cdot \delta \mathbf{r} - {}^2\boldsymbol{\lambda} \cdot \nabla \delta \mathbf{r}^S) dV + \int_{\mathcal{O}(\partial V)} \mathbf{p} \cdot \delta \mathbf{r} d\mathcal{O} = 0. \quad (15.3)$$

Благодаря симметрии ${}^2\boldsymbol{\lambda}$ имеем*

$${}^2\boldsymbol{\lambda} = {}^2\boldsymbol{\lambda}^T \Rightarrow {}^2\boldsymbol{\lambda} \cdot \nabla \delta \mathbf{r}^S = {}^2\boldsymbol{\lambda} \cdot \nabla \delta \mathbf{r}^T,$$

$$* \boldsymbol{\Lambda}^S \cdot \mathbf{X} = \boldsymbol{\Lambda}^S \cdot \mathbf{X}^T = \boldsymbol{\Lambda}^S \cdot \mathbf{X}^S, \quad \nabla \cdot (\mathbf{B} \cdot \mathbf{a}) = (\nabla \cdot \mathbf{B}) \cdot \mathbf{a} + \mathbf{B}^T \cdot \nabla \mathbf{a}$$

$${}^2\lambda \cdot \nabla \delta \mathbf{r}^S = \nabla \cdot ({}^2\lambda \cdot \delta \mathbf{r}) - \nabla \cdot {}^2\lambda \cdot \delta \mathbf{r}.$$

Подставив это в (15.3) и применив теорему о дивергенции, получаем

$$\int_{\mathcal{V}} (\rho \mathbf{f} + \nabla \cdot {}^2\lambda) \cdot \delta \mathbf{r} d\mathcal{V} + \int_{\mathcal{O}(\partial \mathcal{V})} (\mathbf{p} - \mathbf{n} \cdot {}^2\lambda) \cdot \delta \mathbf{r} d\mathcal{O} = 0.$$

But $\delta \mathbf{r}$ is random on a surface and inside a volume, thus

$$\mathbf{p} = \mathbf{n} \cdot {}^2\lambda, \quad \nabla \cdot {}^2\lambda + \rho \mathbf{f} = \mathbf{0}$$

— formally introduced symmetric multiplier ${}^2\lambda$ happened to be the Cauchy stress tensor.

Similar introduction of stresses was presented in book [?]. Here are no new results, но интересна сама возможность одновременного вывода тех уравнений механики сплошной среды, которые раньше считались независимыми. В следующих главах эта техника используется для построения новых континуальных моделей.

Bibliography

Глубина изложения нелинейной безмоментной упругости характерна для книг А. И. Лурье [29, 30]. Оригинальность как основных идей, так и стиля присуща книге С. Truesdell'a [61]. Много ценной информации можно найти у К. Ф. Черных [?]. Л. М. Зубов's book [21] is worthy of mention too. О применении нелинейной теории упругости в смежных областях рассказано в книге С. Teodosiu [57]. Повышенным математическим уровнем отличается монография Ph. Ciarlet [54].

LIST OF PUBLICATIONS

1. **Antman, Stuart S.** The theory of rods. In: Truesdell C. (editor) Mechanics of solids. Volume II. Linear theories of elasticity and thermoelasticity. Linear and nonlinear theories of rods, plates, and shells. Springer-Verlag, 1973. Pages 641–703.
2. **Алфутов Н. А.** Основы расчета на устойчивость упругих систем. Издание 2-е. М.: Машиностроение, 1991. 336 с.
3. **Артоболевский И. И., Бобровницкий Ю. И., Генкин М. Д.** Введение в акустическую динамику машин. «Наука», 1979. 296 с.
4. **Ахтырец Г. П., Короткин В. И.** Использование МКЭ при решении контактной задачи теории упругости с переменной зоной контакта // Известия северо-кавказского научного центра высшей школы (СКНЦ ВШ). Серия естественные науки. Ростов-на-Дону: Издательство РГУ, 1984. № 1. С. 38–42.
5. **Ахтырец Г. П., Короткин В. И.** К решению контактной задачи с помощью метода конечных элементов // Механика сплошной среды. Ростов-на-Дону: Издательство РГУ, 1988. С. 43–48.
6. **Бидерман В. Л.** Механика тонкостенных конструкций. М.: Машиностроение, 1977. 488 с.
7. **Вениамин И. Блох.** Теория упругости. Харьков: Издательство Харьковского Государственного Университета, 1964. 484 с.
8. **Власов В. З.** Тонкостенные упругие стержни. М.: Физматгиз, 1959. 568 с.
9. **Гольденвейзер А. Л.** Теория упругих тонких оболочек. «Наука», 1976. 512 с.
10. **Гольденвейзер А. Л., Лидский В. Б., Товстик П. Е.** Свободные колебания тонких упругих оболочек. «Наука», 1979. 383 с.
11. **Gordon, James E.** Structures, or Why things don't fall down. Penguin Books, 1978. 395 pages. *Перевод: Гордон Дж.* Конструкции, или почему не ломаются вещи. «Мир», 1980. 390 с.

12. **Gordon, James E.** The new science of strong materials, or Why you don't fall through the floor. Penguin Books, 1968. 269 pages. *Перевод: Гордон Дж.* Почему мы не проваливаемся сквозь пол. «Мир», 1971. 272 с.
13. **Александр Н. Гузь.** Устойчивость упругих тел при конечных деформациях. Киев: “Наукова думка”, 1973. 271 с.
14. *Перевод: Де Вит Р.* Континуальная теория дисклинаций. «Мир», 1977. 208 с.
15. **Джанелидзе Г. Ю., Пановко Я. Г.** Статика упругих тонкостенных стержней. Л., М.: Гостехиздат, 1948. 208 с.
16. **Димитриенко Ю. И.** Тензорное исчисление: Учебное пособие для вузов. М.: “Высшая школа”, 2001. 575 с.
17. **Dorin Ieşan.** Classical and generalized models of elastic rods. 2nd edition. CRC Press, Taylor & Francis Group, 2009. 369 pages
18. **Владимир В. Елисеев.** Одномерные и трёхмерные модели в механике упругих стержней. Диссертация на соискание учёной степени доктора физико-математических наук. ЛГТУ, 1991. 300 с.
19. **Eshelby, John D.** The continuum theory of lattice defects // Solid State Physics, Academic Press, vol. 3, 1956, pp. 79–144. *Перевод: Эшелби Дж.* Континуальная теория дислокаций. М.: ИИЛ, 1963. 247 с.
20. **Журавлёв В. Ф.** Основы теоретической механики. 3-е издание, переработанное. М.: ФИЗМАТЛИТ, 2008. 304 с.
21. **Зубов Л. М.** Методы нелинейной теории упругости в теории оболочек. Изд-во Ростовского ун-та, 1982. 144 с.
22. **Кац, Арнольд М.** Теория упругости. 2-е издание, стереотипное. Санкт-Петербург: Издательство «Лань», 2002. 208 с.
23. **Качанов Л. М.** Основы механики разрушения. «Наука», 1974. 312 с.
24. **Керштейн И. М., Ключников В. Д., Ломакин Е. В., Шестериков С. А.** Основы экспериментальной механики разрушения. Изд-во МГУ, 1989. 140 с.
25. **Cosserat E. et Cosserat F.** Théorie des corps déformables. Paris: A. Hermann et Fils, 1909. 226 p.
26. **Cottrell, Alan.** Theory of crystal dislocations. Gordon and Breach (Documents on Modern Physics), 1964. 94 p. *Перевод: Коттрел А.* Теория дислокаций. «Мир», 1969. 96 с.

27. **Kröner, Ekkehart** (i) *Kontinuumstheorie der Versetzungen und Eigenspannungen*. Springer-Verlag, 1958. 180 pages. (ii) *Allgemeine Kontinuumstheorie der Versetzungen und Eigenspannungen* // *Archive for Rational Mechanics and Analysis*. Volume 4, Issue 1 (January 1959), pp. 273–334. *Перевод: Крёнер Э.* Общая континуальная теория дислокаций и собственных напряжений. «Мир», 1965. 104 с.
28. **Augustus Edward Hough Love**. *A treatise on the mathematical theory of elasticity*. Volume I. Cambridge, 1892. 354 p. Volume II. Cambridge, 1893. 327 p. 4th edition. Cambridge, 1927. Dover, 1944. 643 p. *Перевод: Аугустус Ляв* Математическая теория упругости. М.: ОНТИ, 1935. 674 с.
29. **Лурье А. И.** *Нелинейная теория упругости*. «Наука», 1980. 512 с. *Translation: Lurie, A. I.* *Nonlinear Theory of Elasticity*: translated from the Russian by K. A. Lurie. Elsevier Science Publishers B.V., 1990. 617 p.
30. **Лурье А. И.** *Теория упругости*. «Наука», 1970. 940 с. *Translation: Lurie, A. I.* *Theory of Elasticity* (translated by A. Belyaev). Springer-Verlag, 2005. 1050 p.
31. **Лурье А. И.** *Пространственные задачи теории упругости*. М.: Гостехиздат, 1955. 492 с.
32. **Лурье А. И.** *Статика тонкостенных упругих оболочек*. М., Л.: Гостехиздат, 1947. 252 с.
33. **George E. Mase**. *Schaum's outline of theory and problems of continuum mechanics* (Schaum's outline series). McGraw-Hill, 1970. 221 p. *Перевод: Джордж Мейз.* Теория и задачи механики сплошных сред. Издание 3-е. URSS, 2010. 320 с.
34. **Ernst Melan, Heinz Parkus**. *Wärmespannungen infolge stationärer Temperaturfelder*. Wein, Springer-Verlag, 1953. 114 Seiten. *Перевод: Мелан Э., Паркус Г.* Термоупругие напряжения, вызываемые стационарными температурными полями. М.: Физматгиз, 1958. 167 с.
35. **Меркин Д. Р.** *Введение в механику гибкой нити*. «Наука», 1980. 240 с.
36. **Меркин Д. Р.** *Введение в теорию устойчивости движения*. 3-е издание. «Наука», 1987. 304 с.

37. **Mindlin, Raymond David and Tiersten, Harry F.** Effects of couple-stresses in linear elasticity // Archive for Rational Mechanics and Analysis. Volume 11, Issue 1 (January 1962), pp. 415–448. *Перевод: Миндлин Р. Д., Тирстен Г. Ф.* Эффекты моментных напряжений в линейной теории упругости // Механика: Сборник переводов и обзоров иностранной периодической литературы. «Мир», 1964. № 4 (86). С. 80–114.
38. **Морозов Н. Ф.** Математические вопросы теории трещин. «Наука», 1984. 256 с.
39. **Naghdi P. M.** The theory of shells and plates. In: Truesdell C. (editor) Mechanics of solids. Volume II. Linear theories of elasticity and thermoelasticity. Linear and nonlinear theories of rods, plates, and shells. Springer-Verlag, 1973. Pages 425–640.
40. **Witold Nowacki.** Dynamiczne zagadnienia termosprężystości. Warszawa: Państwowe wydawnictwo naukowe, 1966. 366 stron. *Translation: Nowacki, Witold.* Dynamic problems of thermoelasticity. Leyden: Noordhoff international publishing, 1975. 436 pages. *Перевод: Витольд Новацкий.* Динамические задачи термоупругости. «Мир», 1970. 256 с.
41. **Witold Nowacki.** Teoria sprężystości. Warszawa: Państwowe wydawnictwo naukowe, 1970. 769 stron. *Перевод: Новацкий Витольд.* Теория упругости. «Мир», 1975. 872 с.
42. **Witold Nowacki.** Efekty elektromagnetyczne w stałych ciałach odkształcalnych. Państwowe wydawnictwo naukowe, 1983. 147 stron. *Перевод: Новацкий В.* Электромагнитные эффекты в твёрдых телах. «Мир», 1986. 160 с.
43. **Новожилов В. В.** Теория тонких оболочек. 2-е издание. Л.: Судпромгиз, 1962. 431 с.
44. **Пановко Я. Г., Бейлин Е. А.** Тонкостенные стержни и системы, составленные из тонкостенных стержней. В сборнике: Рабинович И. М. (редактор) Строительная механика в СССР 1917–1967. М.: Стройиздат, 1969. С. 75–98.
45. **Пановко Я. Г., Губанова И. И.** Устойчивость и колебания упругих систем. Современные концепции, парадоксы и ошибки. 4-е издание. «Наука», 1987. 352 с.
46. **Heinz Parkus.** Instationäre Wärmespannungen. Springer-Verlag, 1959. 176 Seiten. *Перевод: Паркус Г.* Неустановившиеся температурные напряжения. М.: Физматгиз, 1963. 252 с.

47. **Партон В. З.** Механика разрушения: от теории к практике. «Наука», 1990. 240 с.
48. **Партон В. З., Кудрявцев Б. А.** Электромагнитоупругость пьезоэлектрических и электропроводных тел. «Наука», 1988. 472 с.
49. **Партон В. З., Морозов Е. М.** Механика упругопластического разрушения. 2-е издание. «Наука», 1985. 504 с.
50. **Подстригач Я. С., Бурак Я. И., Кондрат В. Ф.** Магнитотермоупругость электропроводных тел. Киев: Наукова думка, 1982. 296 с.
51. **Поручиков В. Б.** Методы динамической теории упругости. «Наука», 1986. 328 с.
52. **Southwell, Richard V.** An introduction to the theory of elasticity for engineers and physicists. Dover Publications, 1970. 509 pages. *Перевод: Саусвелл Р. В.* Введение в теорию упругости для инженеров и физиков. М.: ИИЛ, 1948. 675 с.
53. **Седов Л. И.** Механика сплошной среды. Том 2. 6-е издание. «Лань», 2004. 560 с.
54. **Ciarlet, Philippe G.** Mathematical elasticity. Volume 1: Three-dimensional elasticity. Elsevier Science Publishers B. V., 1988. xlii + 452 pp. *Перевод: Филипп Сьярле* Математическая теория упругости. «Мир», 1992. 472 с.
55. **Adhémar-Jean-Claude Barré de Saint-Venant.** Mémoire sur la torsion des prismes, avec des considérations sur leur flexion ainsi que sur l'équilibre intérieur des solides élastiques en général, et des formules pratiques pour le calcul de leur résistance à divers efforts s'exerçant simultanément. Memoires presentes par divers savants a l'Academie des sciences, t. 14, année 1856. 327 pages. *Перевод на русский язык: Сен-Венан Б.* Мемуар о кручении призм. Мемуар об изгибе призм. М.: Физматгиз, 1961. 518 страниц.
56. **Adhémar-Jean-Claude Barré de Saint-Venant.** Mémoire sur la flexion des prismes Journal de mathematiques pures et appliquees, publie par J. Liouville. 2me serie, t. 1, année 1856. *Перевод на русский язык: Сен-Венан Б.* Мемуар о кручении призм. Мемуар об изгибе призм. М.: Физматгиз, 1961. 518 страниц.
57. **Cristian Teodosiu.** Elastic models of crystal defects. Springer-Verlag, 1982. 336 pages. *Перевод: Теодосиу К.* Упругие модели дефектов в кристаллах. «Мир», 1985. 352 с.
58. **Тимошенко Степан П.** Устойчивость стержней, пластин и оболочек. «Наука», 1971. 808 с.

59. **Тимошенко Степан П., Войновский-Кригер С.** Пластинки и оболочки. «Наука», 1966. 635 с.
60. **Stephen P. Timoshenko and James N. Goodier.** Theory of Elasticity. 2nd edition. McGraw–Hill, 1951. 506 pages. 3rd edition. McGraw–Hill, 1970. 567 pages. *Перевод: Тимошенко Степан П., Джеймс Гудьер.* Теория упругости. 2-е издание. «Наука», 1979. 560 с.
61. **Truesdell, Clifford A.** A first course in rational continuum mechanics. Volume 1: General concepts. 2nd edition. Academic Press, 1991. 391 pages. *Перевод: Труделл К.* Первоначальный курс рациональной механики сплошных сред. «Мир», 1975. 592 с.
62. **Феодосьев В. И.** Десять лекций-бесед по сопротивлению материалов. 2-е издание. «Наука», 1975. 173 с.
63. *Перевод: Хеллан К.* Введение в механику разрушения. «Мир», 1988. 364 с.
64. *Перевод: Циглер Г.* Основы теории устойчивости конструкций. «Мир», 1971. 192 с.
65. **Черепанов Г. П.** Механика хрупкого разрушения. «Наука», 1974. 640 с.
66. **Черных К. Ф.** Введение в анизотропную упругость. «Наука», 1988. 192 с.
67. **Шермергор Т. Д.** Теория упругости микронеоднородных сред. «Наука», 1977. 400 с.

Oscillations and waves

68. **Timoshenko, Stephen P.; Young, Donovan H.; William Weaver, jr.** Vibration problems in engineering. 5th edition. John Wiley & Sons, 1990. 624 pages. *Перевод: Тимошенко Степан П., Янг Донован Х., Уильям Уивер.* Колебания в инженерном деле. М.: Машиностроение, 1985. 472 с.
69. **Бабаков И. М.** Теория колебаний. 4-е издание. «Дрофа», 2004. 592 с.
70. **Бидерман В. Л.** Теория механических колебаний. М.: Высшая школа, 1980. 408 с.
71. **Болотин В. В.** Случайные колебания упругих систем. «Наука», 1979. 336 с.
72. **Гринченко В. Т., Мелешко В. В.** Гармонические колебания и волны в упругих телах. Киев: Наукова думка, 1981. 284 с.

73. **Whitham, Gerald B.** Linear and nonlinear waves. John Wiley & Sons, 1974. 636 pages. *Перевод: Уизем Дж.* Линейные и нелинейные волны. «Мир», 1977. 624 с.
74. **Kolsky, Herbert.** Stress waves in solids. Oxford, Clarendon Press, 1953. 211 p. 2nd edition. Dover Publications, 2012. 224 p. *Перевод: Кольский Г.* Волны напряжения в твёрдых телах. М.: ИИЛ, 1955. 192 с.
75. **Энгельбрехт Ю. К., Нигул У. К.** Нелинейные волны деформации. «Наука», 1981. 256 с.
76. **Слепян Л. И.** Нестационарные упругие волны. Л.: Судостроение, 1972. 376 с.
77. **Григолюк Э. И., Селезов И. Т.** Неклассические теории колебаний стержней, пластин и оболочек. (Итоги науки и техники. Механика твёрдых деформируемых тел. Том 5.) М.: ВИНТИ, 1973. 272 с.

Composites

78. **Christensen, Richard M.** Mechanics of composite materials. New York: Wiley, 1979. 348 p. *Перевод: Кристенсен Р.* Введение в механику композитов. «Мир», 1982. 336 с.
79. **Кравчук А. С., Майборода В. П., Уржумцев Ю. С.** Механика полимерных и композиционных материалов. Экспериментальные и численные методы. «Наука», 1985. 304 с.
80. **Победря Б. Е.** Механика композиционных материалов. Изд-во Моск. ун-та, 1984. 336 с.
81. **Черепанов Г. П.** Механика разрушения композиционных материалов. «Наука», 1983. 296 с.
82. **Бахвалов Н. С., Панасенко Г. П.** Осреднение процессов в периодических средах. Математические задачи механики композиционных материалов. «Наука», 1984. 352 с.
83. **Bensoussan A., Lions J.-L., Papanicolaou G.** Asymptotic analysis for periodic structures. Amsterdam: North-Holland, 1978. 700 p.

The finite element method

84. **Зенкевич О., Морган К.** Конечные элементы и аппроксимация. «Мир», 1986. 318 с.
85. **Шабров Н. Н.** Метод конечных элементов в расчётах деталей тепловых двигателей. Л.: Машиностроение, 1983. 212 с.

Mechanics, thermodynamics, electromagnetism

86. **Feynman, Richard Ph. • Leighton, Robert B. • Sands, Matthew.** The Feynman Lectures on Physics. New millennium edition. Volume II: Mainly electromagnetism and matter. Basic Books, 2011. 566 pages. *Online: The Feynman Lectures on Physics. Online edition.*
87. **Goldstein, Herbert; Poole, Charles P.; Safko, John L.** Classical Mechanics. 3rd edition. Addison–Wesley, 2001. 638 pages. *Перевод: Голдстейн Г., Пул Ч., Сафко Дж.* Классическая механика. URSS, 2012. 828 с.
88. **Pars, Leopold A.** A treatise on analytical dynamics. London: Heinemann, 1965. 641 pages. *Перевод: Парс Л. А.* Аналитическая динамика. «Наука», 1971. 636 с.
89. **Ter Haar, Dirk.** Elements of hamiltonian mechanics. 2nd edition. Pergamon Press, 1971. 201 pages. *Перевод: Тер Хаар Д.* Основы гамильтоновой механики. «Наука», 1974. 223 с.
90. **Беляев Н. М., Рядно А. А.** Методы теории теплопроводности. М.: Высшая школа, 1982. В 2-х томах. Том 1, 328 с. Том 2, 304 с.
91. **Бредов М. М., Румянцев В. В., Топтыгин И. Н.** Классическая электродинамика. «Наука», 1985. 400 с.
92. **Феликс Р. Гантмахер** Лекции по аналитической механике. Издание 2-е. «Наука», 1966. 300 с.
93. **Ландау Л. Д., Лифшиц Е. М.** Краткий курс теоретической физики. Книга 1. Механика. Электродинамика. «Наука», 1969. 271 с.
94. **Лойцянский Л. Г., Лурье А. И.** Курс теоретической механики: В 2-х томах. «Дрофа», 2006. Том 1: Статика и кинематика. 9-е издание. 447 с. Том 2: Динамика. 7-е издание. 719 с.
95. **Лурье А. И.** Аналитическая механика. М.: Физматгиз, 1961. 824 с.
96. **Ольховский И. И.** Курс теоретической механики для физиков. 3-е издание. Изд-во МГУ, 1978. 575 с.
97. **Тамм И. Е.** Основы теории электричества. 11-е издание. М.: Физматлит, 2003. 616 с.

Tensors and tensor calculus

98. **McConnell, Albert Joseph.** Applications of tensor analysis. New York: Dover Publications, 1957. 318 pages. *Перевод: Мак-Коннел А. Дж.* Введение в тензорный анализ с приложениями к геометрии, механике и физике. М.: Физматгиз, 1963. 412 с.

99. **Schouten, Jan A.** Tensor analysis for physicists. 2nd edition. Dover Publications, 2011. 320 pages. *Перевод: Схоутен Я. А.* Тензорный анализ для физиков. «Наука», 1965. 456 с.
100. **Sokolnikoff, I. S.** Tensor analysis: Theory and applications to geometry and mechanics of continua. 2nd edition. John Wiley & Sons, 1965. 361 pages. *Перевод: Сокольников И. С.* Тензорный анализ (с приложениями к геометрии и механике сплошных сред). «Наука», 1971. 376 с.
101. **Рашевский П. К.** Риманова геометрия и тензорный анализ. Издание 3-е. «Наука», 1967. 664 с.

Variational methods

102. **Karel Rektorys.** Variační metody v inženýrských problémech a v problémech matematické fyziky. SNTL (Státní nakladatelství technické literatury), 1974. 593 s. *Translation: Rektorys, Karel.* Variational Methods in Mathematics, Science and Engineering. Second edition. D. Reidel Publishing Company, 1980. 571 p. *Перевод: Ректорис К.* Вариационные методы в математической физике. «Мир», 1985. 590 с.
103. **Washizu, Kyuichiro.** Variational methods in elasticity and plasticity. 3rd edition. Pergamon Press, Oxford, 1982. 630 pages. *Перевод: Васидзу К.* Вариационные методы в теории упругости и пластичности. «Мир», 1987. 542 с.
104. **Бердичевский В. Л.** Вариационные принципы механики сплошной среды. «Наука», 1983. 448 с.
105. **Михлин С. Г.** Вариационные методы в математической физике. Издание 2-е. «Наука», 1970. 512 с.

Perturbation methods (asymptotic methods)

106. **Cole, Julian D.** Perturbation methods in applied mathematics. Blaisdell Publishing Co., 1968. 260 pages. *Перевод: Коул Дж.* Методы возмущений в прикладной математике. «Мир», 1972. 274 с.
107. **Nayfeh, Ali H.** Introduction to perturbation techniques. Wiley, 1981. 536 pages. *Перевод: Найфэ Али Х.* Введение в методы возмущений. «Мир», 1984. 535 с.
108. **Nayfeh, Ali H.** Perturbation methods. Wiley-VCH, 2004. 425 pages.
109. **Боголюбов Н. Н., Митропольский Ю. А.** Асимптотические методы в теории нелинейных колебаний. «Наука», 1974. 504 с.

110. **Васильева А. Б., Бутузов В. Ф.** Асимптотические методы в теории сингулярных возмущений. М.: Высшая школа, 1990. 208 с.
111. **Зино И. Е., Тропш Э. А.** Асимптотические методы в задачах теории теплопроводности и термоупругости. Изд-во ЛГУ, 1978. 224 с.
112. **Моисеев Н. Н.** Асимптотические методы нелинейной механики. 2-е издание. «Наука», 1981. 400 с.
113. **Товстик П. Е.** Устойчивость тонких оболочек: асимптотические методы. «Наука», 1995. 319 с.

Other topics of mathematics

114. **Collatz, Lothar.** Eigenwertaufgaben mit technischen Anwendungen. 2. Auflage. Akademische Verlagsgesellschaft Geest & Portig, Leipzig, 1963. 500 Seiten. *Перевод: Коллатц Л.* Задачи на собственные значения (с техническими приложениями). «Наука», 1968. 504 с.
115. **Dwight, Herbert Bristol.** Tables of integrals and other mathematical data. 4th edition. The Macmillan Co., 1961. 336 pages. *Перевод: Двайт Г. Б.* Таблицы интегралов и другие математические формулы. Издание 4-е. «Наука», 1973. 228 с.
116. **Kamke, Erich.** Differentialgleichungen, Lösungsmethoden und Lösungen. Bd. I. Gewöhnliche Differentialgleichungen. 10. Auflage. Teubner Verlag, 1977. 670 Seiten. *Перевод: Камке Э.* Справочник по обыкновенным дифференциальным уравнениям. 6-е издание. «Лань», 2003. 576 с.
117. **Korn, Granino A. and Korn, Theresa M.** Mathematical handbook for scientists and engineers: definitions, theorems, and formulas for reference and review. Revised edition. Dover Publications, 2013. 1152 pages. *Перевод: Корн Г., Корн Т.* Справочник по математике для научных работников и инженеров. «Наука», 1974. 832 с.
118. **Лаврентьев М. А., Шабат Б. В.** Методы теории функций комплексного переменного. 4-е издание. «Наука», 1973. 736 с.
119. **Погорелов А. В.** Дифференциальная геометрия. Издание 6-е. «Наука», 1974. 176 с.